

Informe

Comparar Point Clouds - Superficie Teórica del Fuste Column-X4Y2

Report done by Pr.Dr. Enrique Nieto-Julián



Leica Geosystems

For



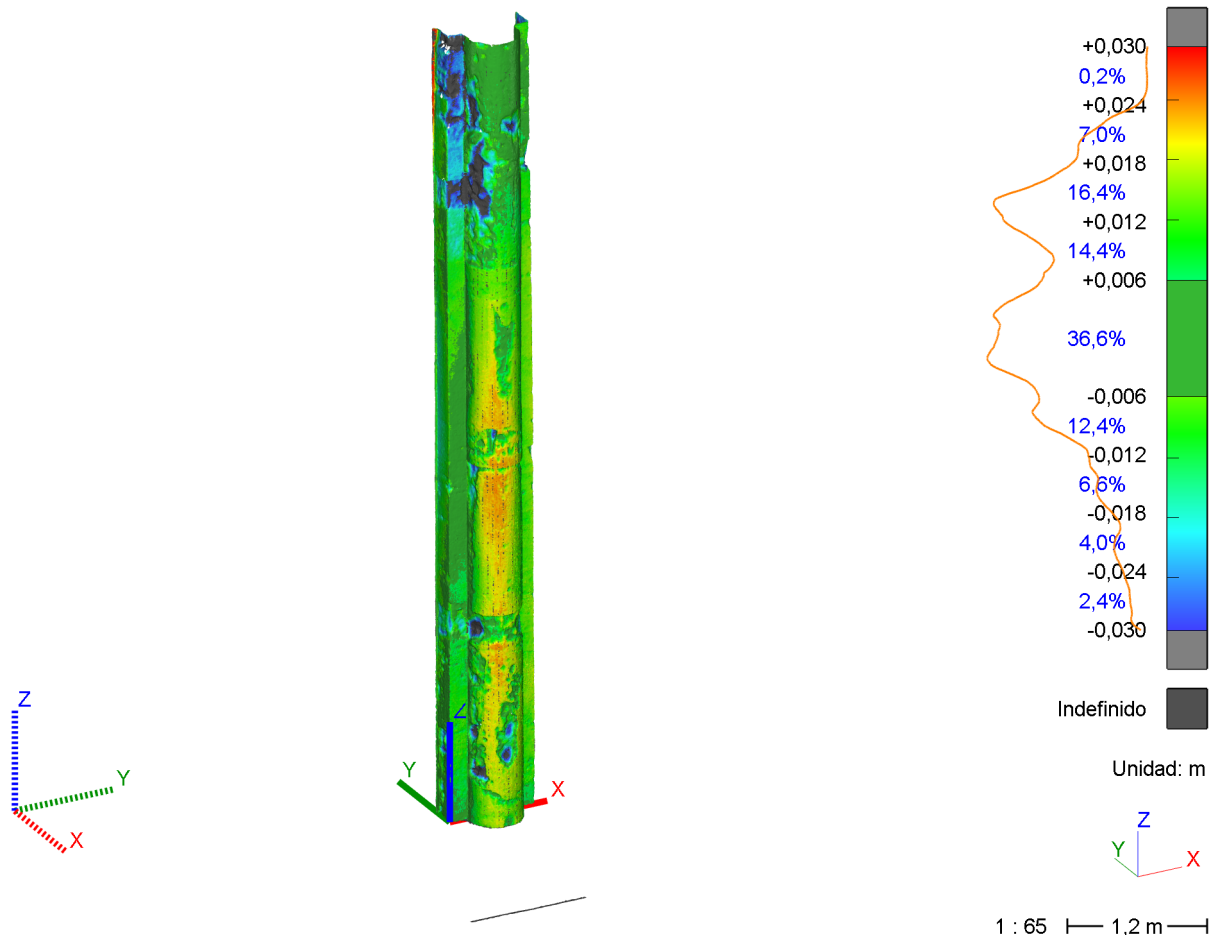
My Customer

09/05/2023

Inspeccionar Malla vs BIM Fuste Column-X4Y2

Theoretical: IFC Fuste-X4Y2_R2

Measure: Malla Fuste-X4Y2



ID	Nombre	Medi X (m)	Medi Y (m)	Medi Z (m)	Medi 3D	Ref X (m)	Ref Y (m)	Ref Z (m)	Ref 3D	Desv X (m)	Desv Y (m)	Desv Z (m)	Desv 3D (m)	Tol- X (m)
1	Etiqueta #1	0,40035	-0,24098	4,55377	-	0,40071	-0,23699	4,55372	-	-0,00035	-0,00399	0,00005	0,00401	-0,00598
3	Etiqueta #3	0,31791	-0,19439	3,69066	-	0,30621	-0,21956	3,69100	-	0,01170	0,02517	-0,00034	-0,02776	-0,00598



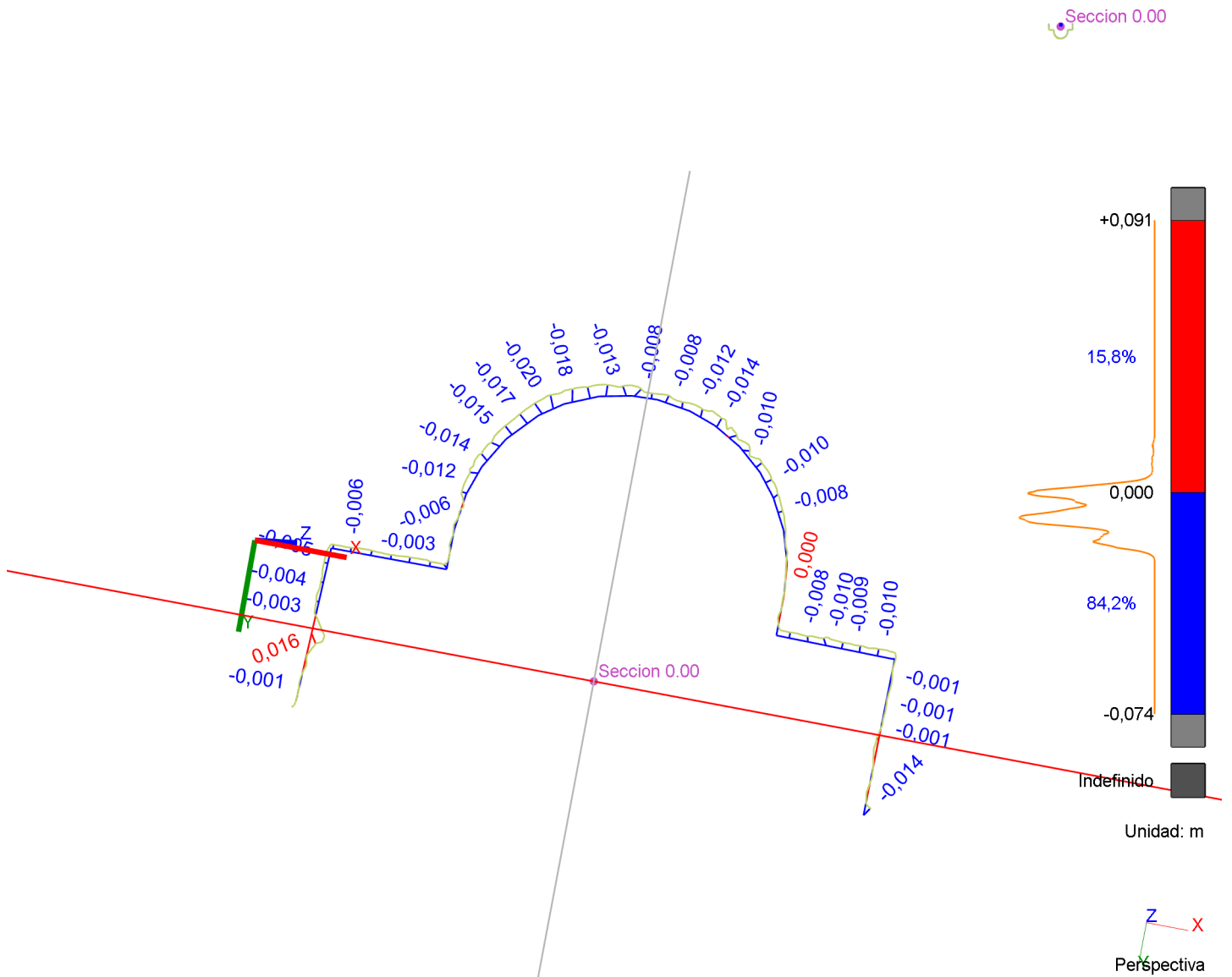
Sección	Desv. promedio (m)	Desv. mín. (m)	Desv. máx. (m)
Seccion 0.00	-0,00653	-0,01994	0,01553
Seccion 0.15	-0,00915	-0,02205	0,00932
Seccion 0.30	-0,00600	-0,02157	0,04881
Seccion 0.45	-0,00450	-0,02339	0,03249
Seccion 0.60	-0,00589	-0,02378	0,03059
Seccion 0.75	-0,00713	-0,02487	0,01258
Seccion 0.90	-0,00825	-0,02659	0,01728
Seccion 1.05	-0,01109	-0,02765	0,00703
Seccion 1.20	-0,00924	-0,05111	0,01171
Seccion 1.35	-0,00987	-0,03155	0,01161
Seccion 1.50	-0,01105	-0,04798	0,02569
Seccion 1.65	0,00469	-0,04241	0,03671
Seccion 1.80	-0,00850	-0,03267	0,01419
Seccion 1.95	-0,01257	-0,03231	0,00752
Seccion 2.10	-0,01141	-0,03297	0,00917
Seccion 2.25	-0,01247	-0,03458	0,00816
Seccion 2.40	-0,01242	-0,03558	0,00757
Seccion 2.55	-0,01405	-0,03712	0,00942
Seccion 2.70	-0,01369	-0,03796	0,01120
Seccion 2.85	-0,01169	-0,03915	0,01525
Seccion 3.00	-0,01383	-0,04137	0,01250
Seccion 3.15	-0,00514	-0,03706	0,02599
Seccion 3.30	-0,00977	-0,03961	0,01360
Seccion 3.45	-0,01252	-0,03274	0,01491
Seccion 3.60	-0,01769	-0,04245	0,01260
Seccion 3.75	-0,01568	-0,04240	0,01317
Seccion 3.90	-0,01411	-0,04274	0,01360
Seccion 4.05	-0,01457	-0,04200	0,01447
Seccion 4.20	-0,01442	-0,04138	0,01375
Seccion 4.35	-0,01391	-0,04030	0,01342
Seccion 4.50	-0,01459	-0,04045	0,01619
Seccion 4.65	-0,01557	-0,04142	0,01712
Seccion 4.80	-0,01455	-0,04007	0,01963
Seccion 4.95	-0,02316	-0,04074	0,01991
Seccion 5.10	-0,00972	-0,03993	0,02097
Seccion 5.25	-0,01144	-0,03948	0,02201
Seccion 5.40	-0,00598	-0,04435	0,09054

Sección	Desv. promedio (m)	Desv. mín. (m)	Desv. máx. (m)
Seccion 5.55	-0,00173	-0,07380	0,02808
Seccion 5.70	0,00142	-0,03929	0,03912
Seccion 5.85	-0,00186	-0,05727	0,05121
Seccion 6.00	0,00190	-0,03662	0,03283
Seccion 6.15	-0,00675	-0,03715	0,02814
Seccion 6.30	-0,00486	-0,03500	0,03209
Seccion 6.45	-0,00518	-0,03766	0,03320
Seccion 6.60	0,00161	-0,03850	0,04433
Seccion 6.75	-0,01300	-0,03837	0,03851
Seccion 6.90	-0,00952	-0,03936	0,03022
Seccion 7.05	-0,01761	-0,04033	0,04967



Seccion 0.00

(X= -0,43831 m ; Y= 4,77865 m ; Z= -0,96711 m)

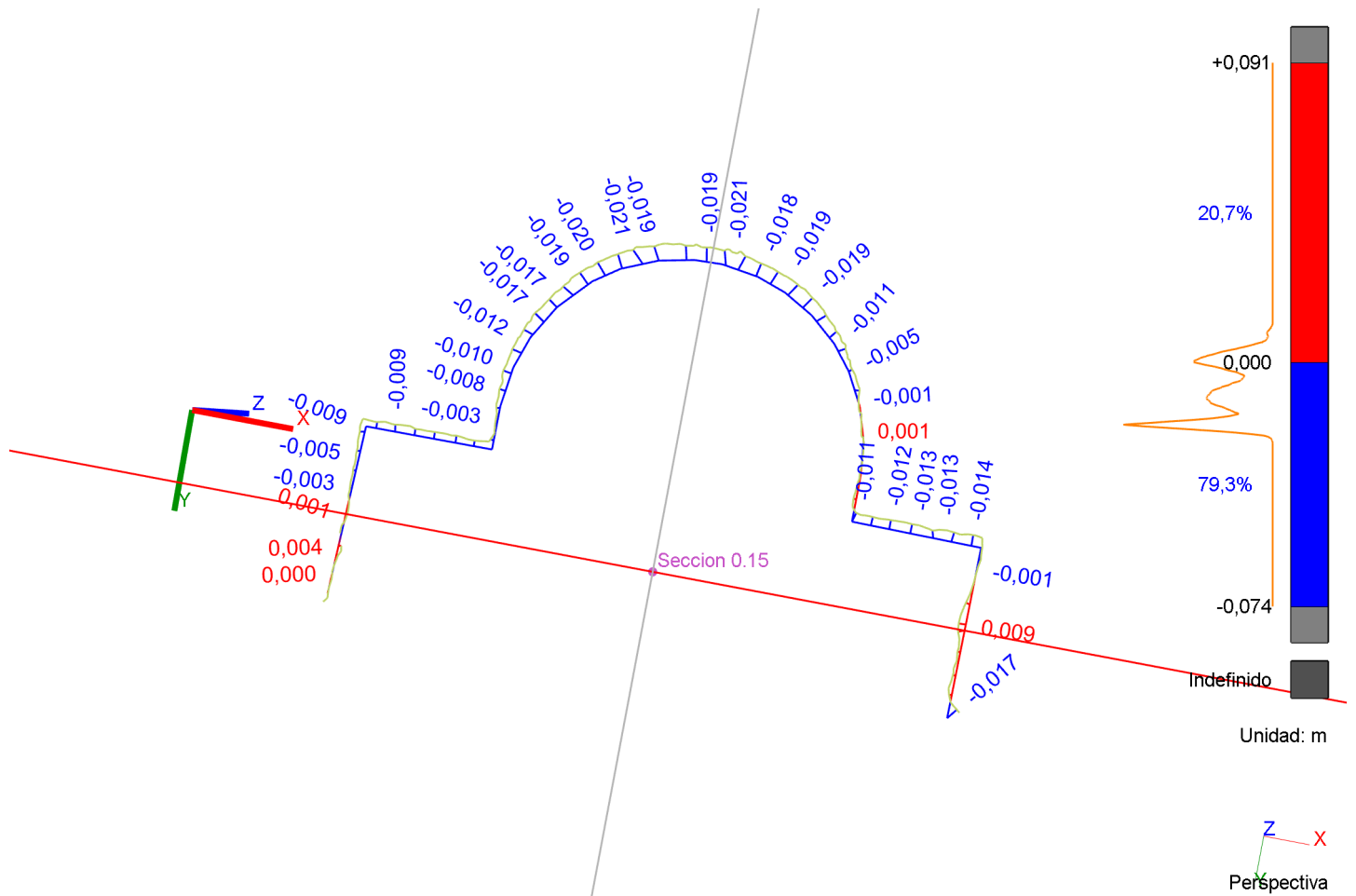


Magnification x1,00000

Seccion 0.15

(X= -0,44086 m ; Y= 4,77911 m ; Z= -0,81713 m)

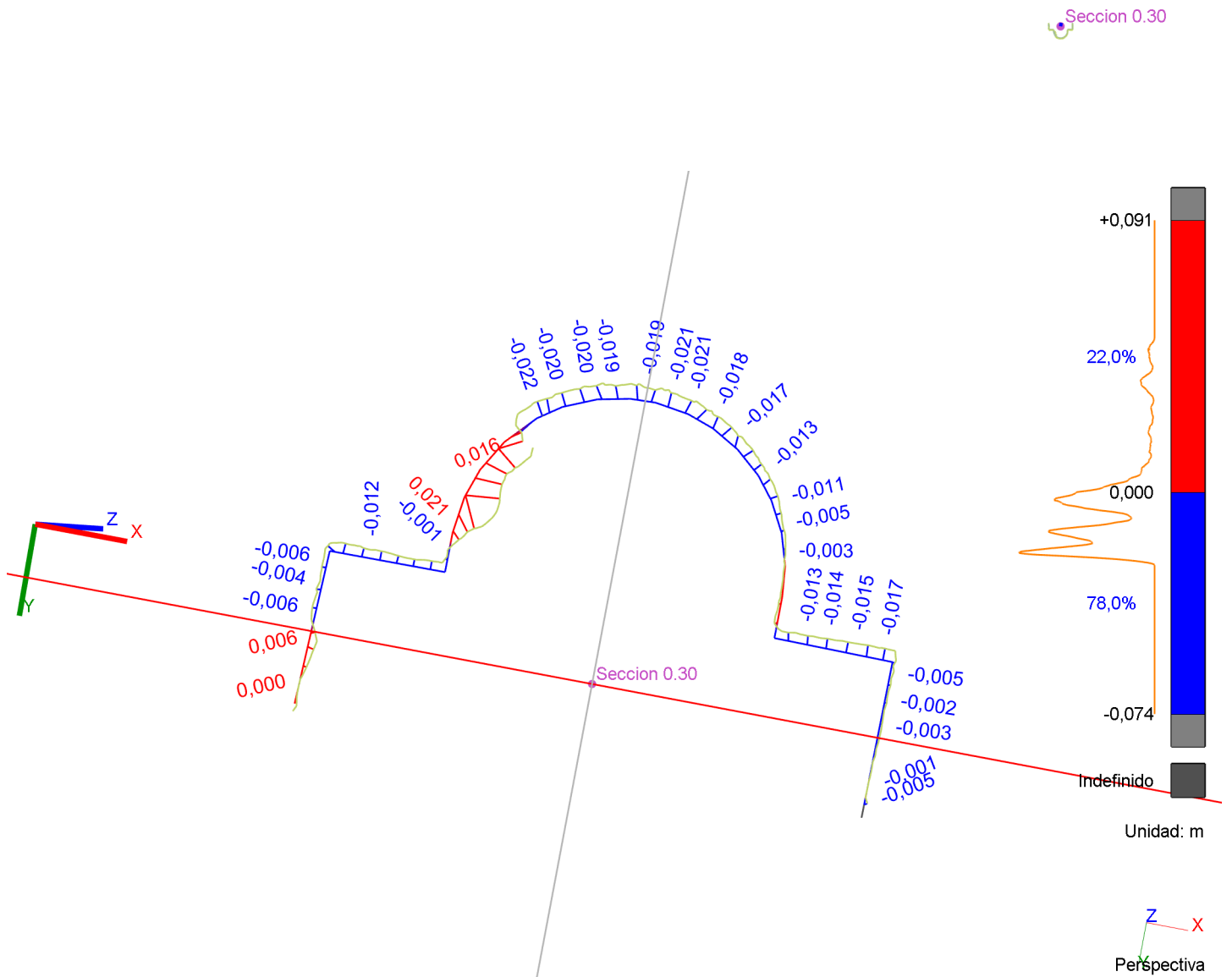
Seccion 0.15



Magnification x1,00000

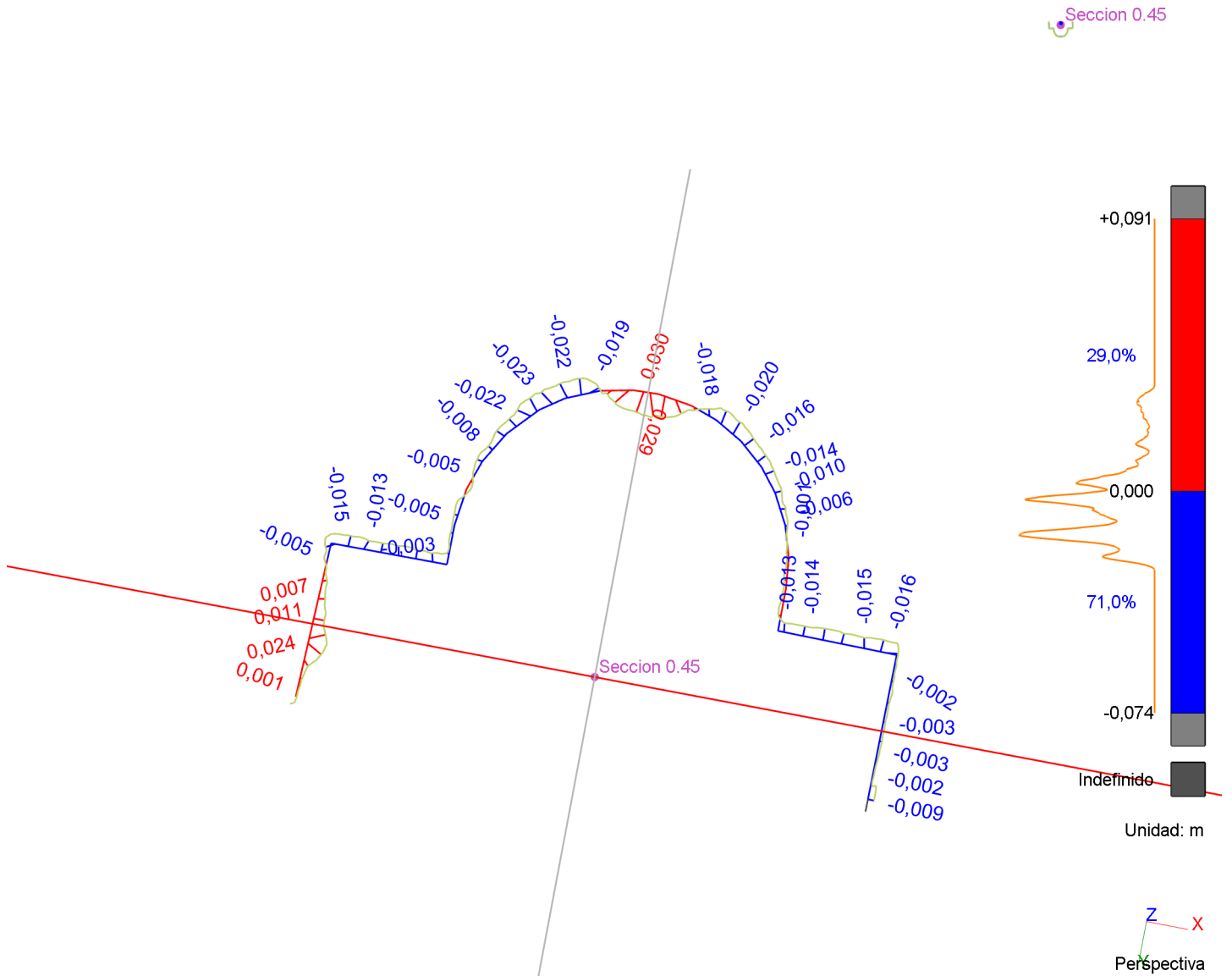
Seccion 0.30

(X= -0,44342 m ; Y= 4,77958 m ; Z= -0,66716 m)



Seccion 0.45

(X= -0,44597 m ; Y= 4,78004 m ; Z= -0,51718 m)

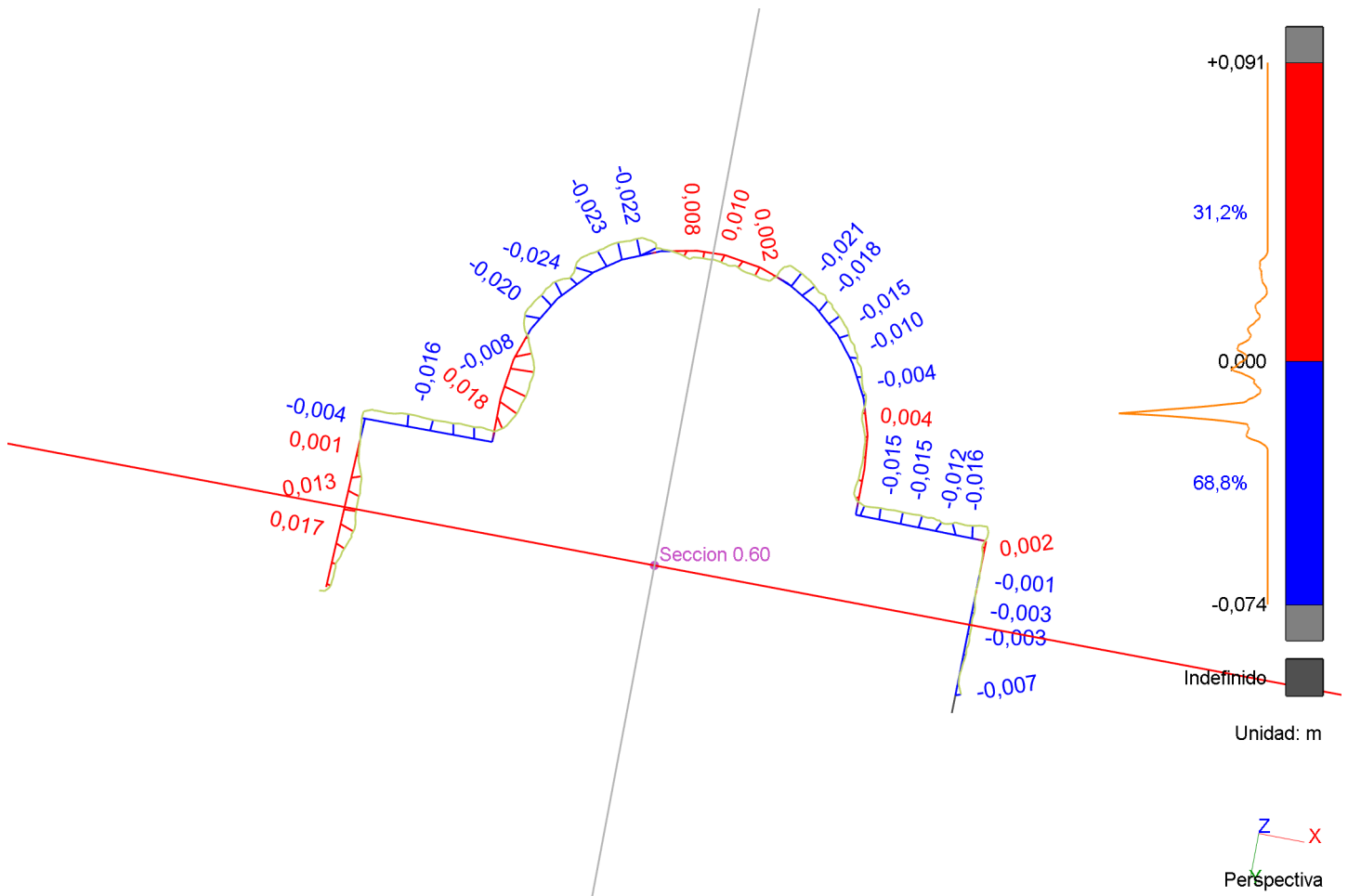


Magnification x1,00000

Seccion 0.60

(X= -0,44852 m ; Y= 4,78050 m ; Z= -0,36720 m)

Seccion 0.60



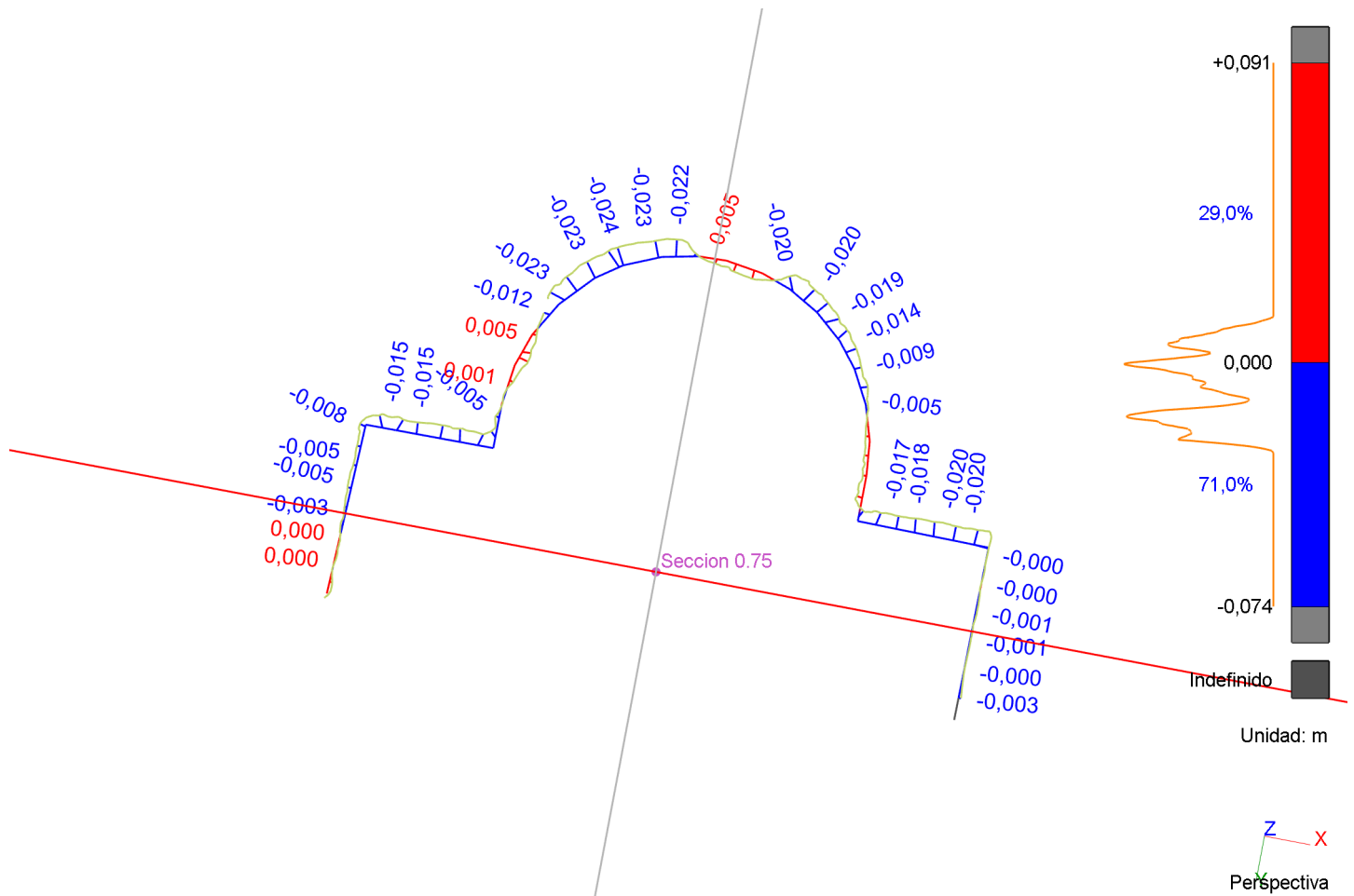
Unidad: m

Magnification x1,00000

Seccion 0.75

(X= -0,45107 m ; Y= 4,78097 m ; Z= -0,21722 m)

Seccion 0.75

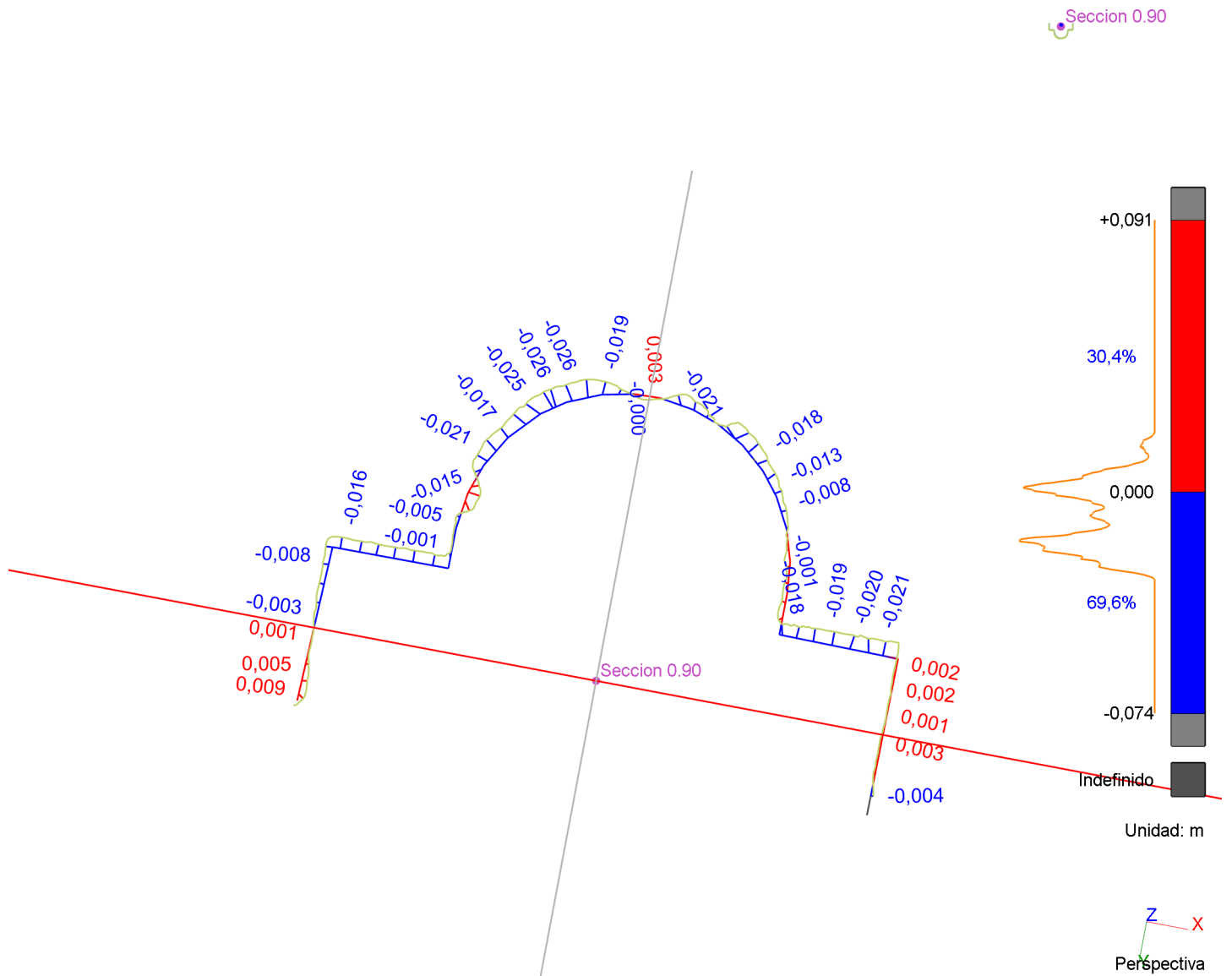


Magnification x1,00000



Seccion 0.90

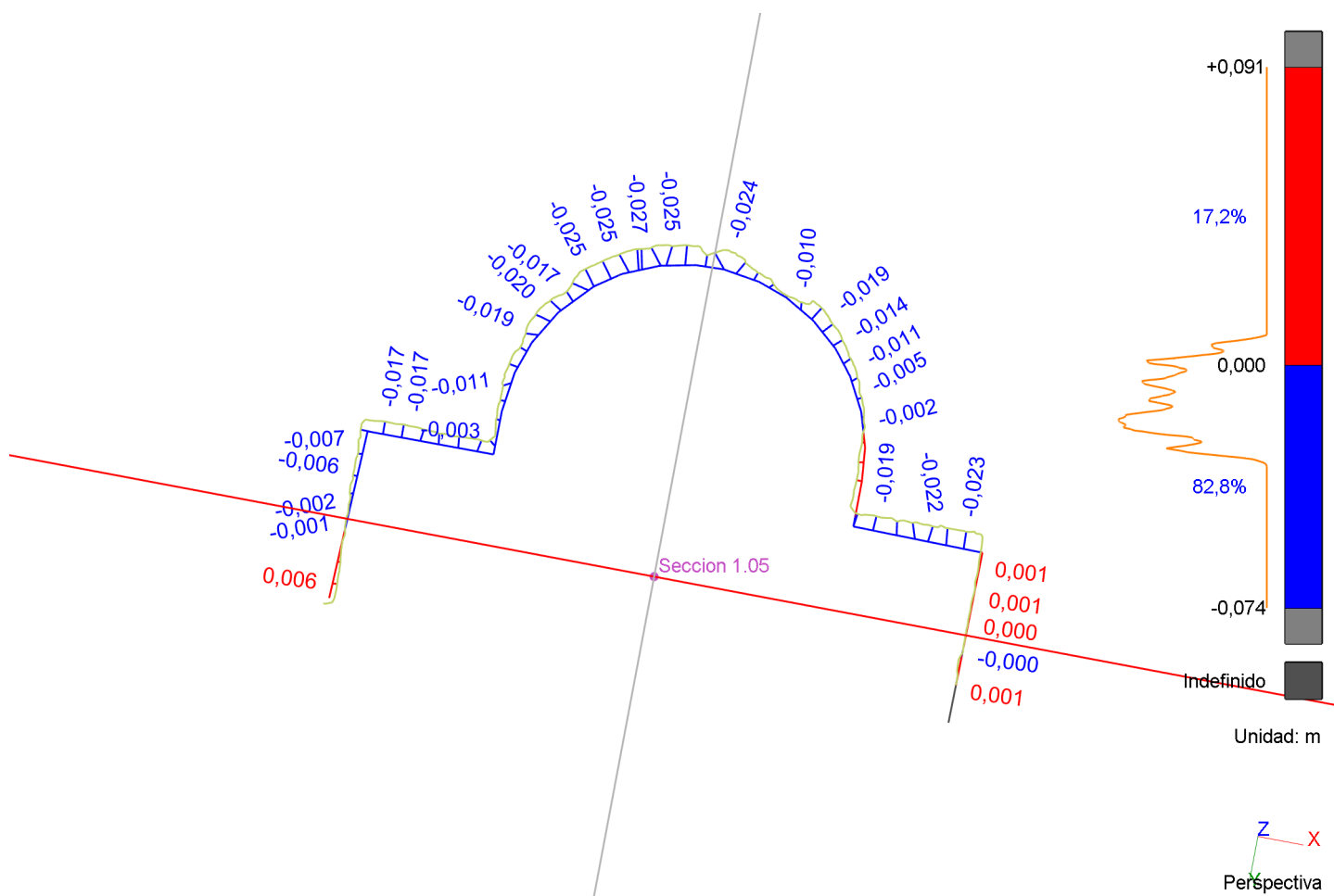
(X= -0,45362 m ; Y= 4,78143 m ; Z= -0,06725 m)



Seccion 1.05

(X= -0,45617 m ; Y= 4,78190 m ; Z= 0,08273 m)

Seccion 1.05

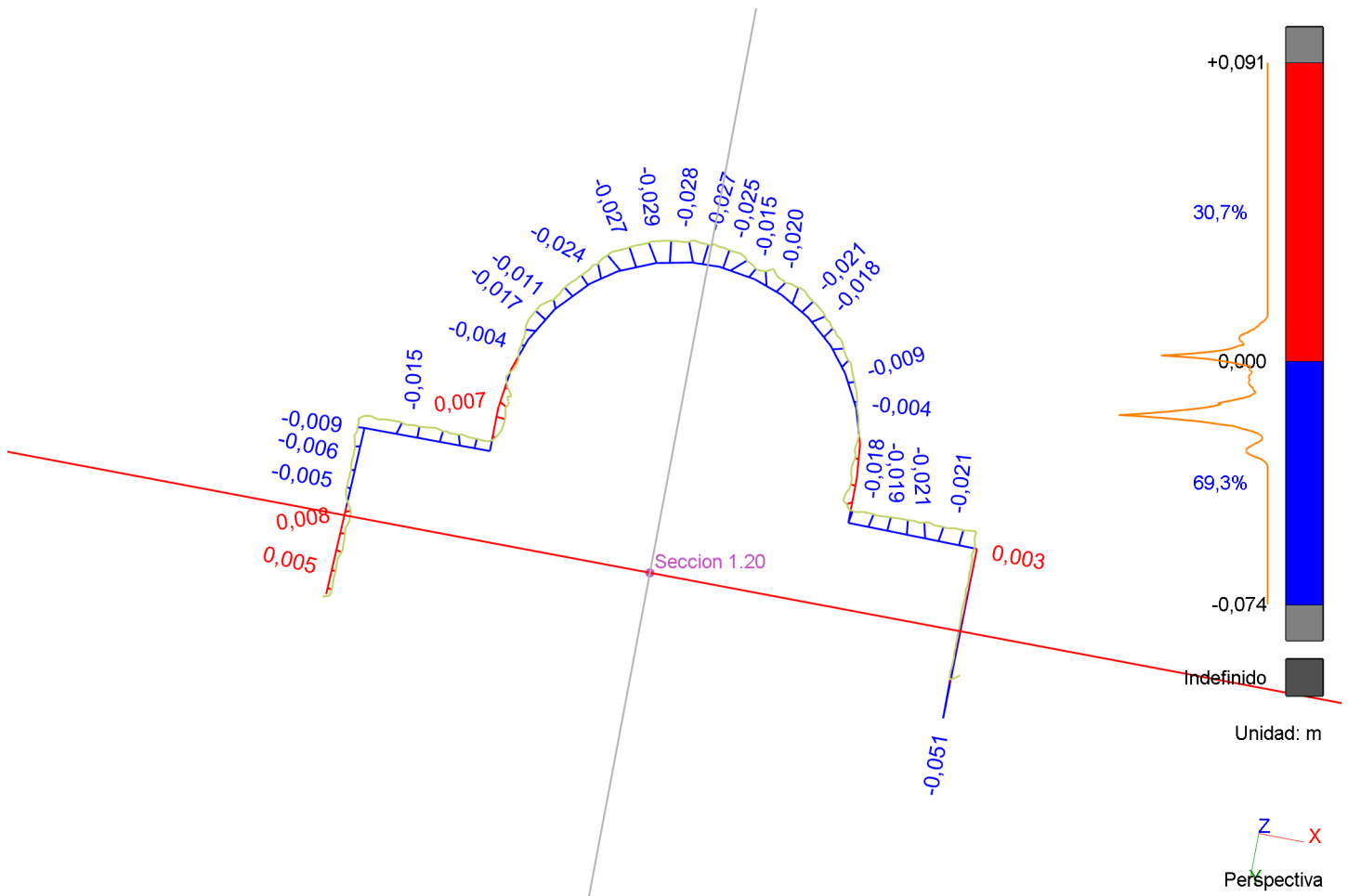


Magnification x1,00000

Seccion 1.20

(X= -0,45872 m ; Y= 4,78236 m ; Z= 0,23271 m)

Seccion 1.20

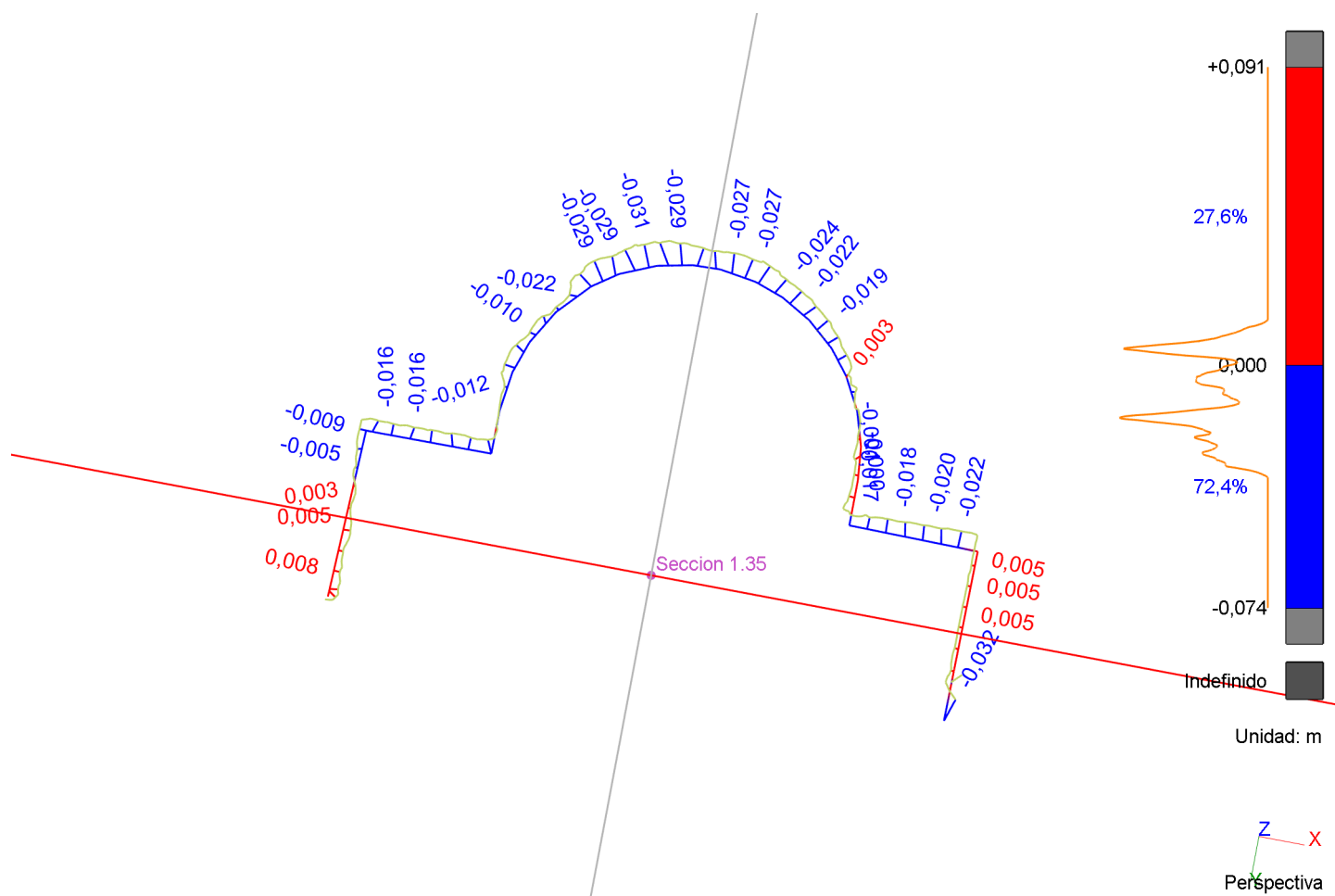


Magnification x1,00000

Seccion 1.35

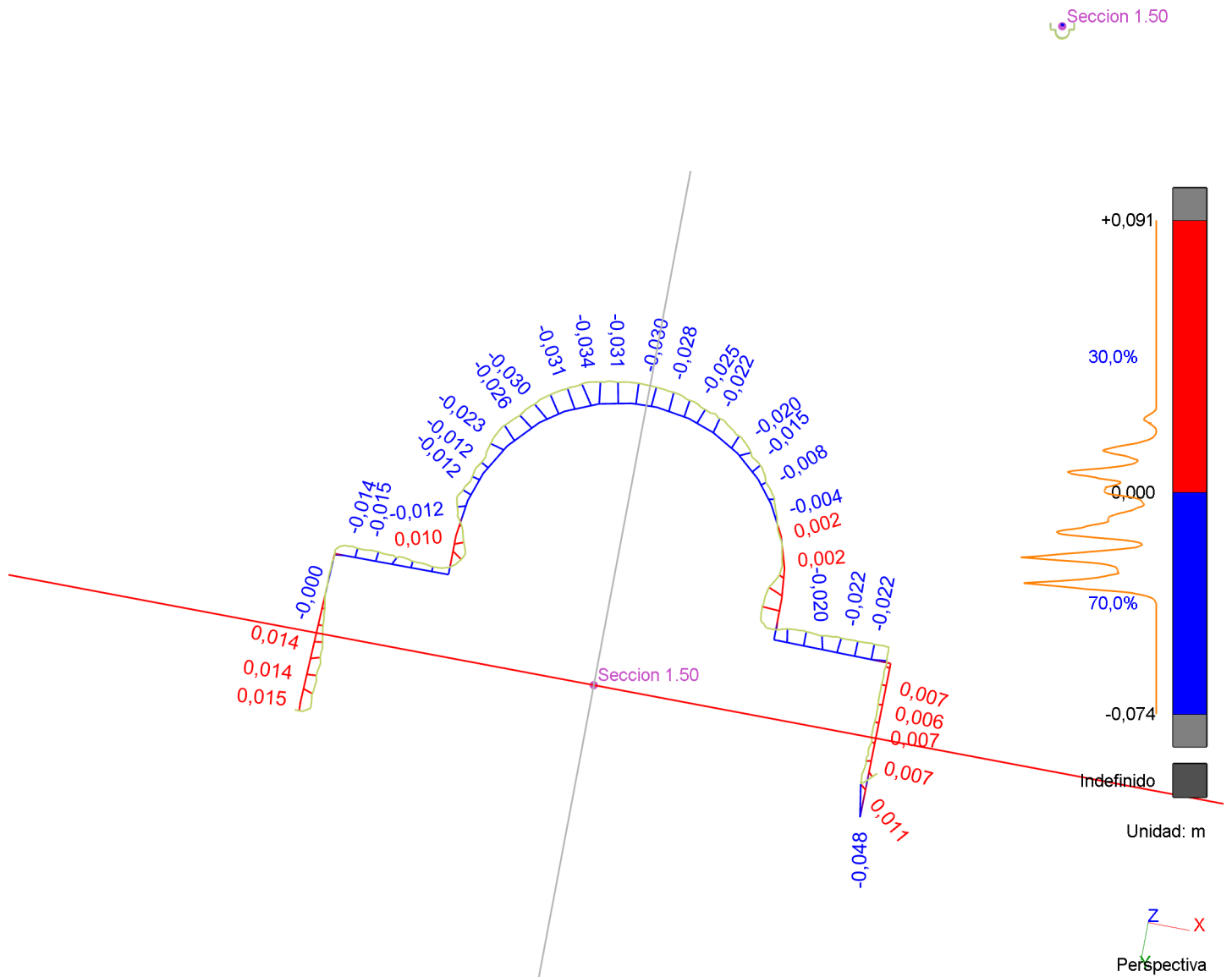
(X= -0,46127 m ; Y= 4,78282 m ; Z= 0,38269 m)

Seccion 1.35



Seccion 1.50

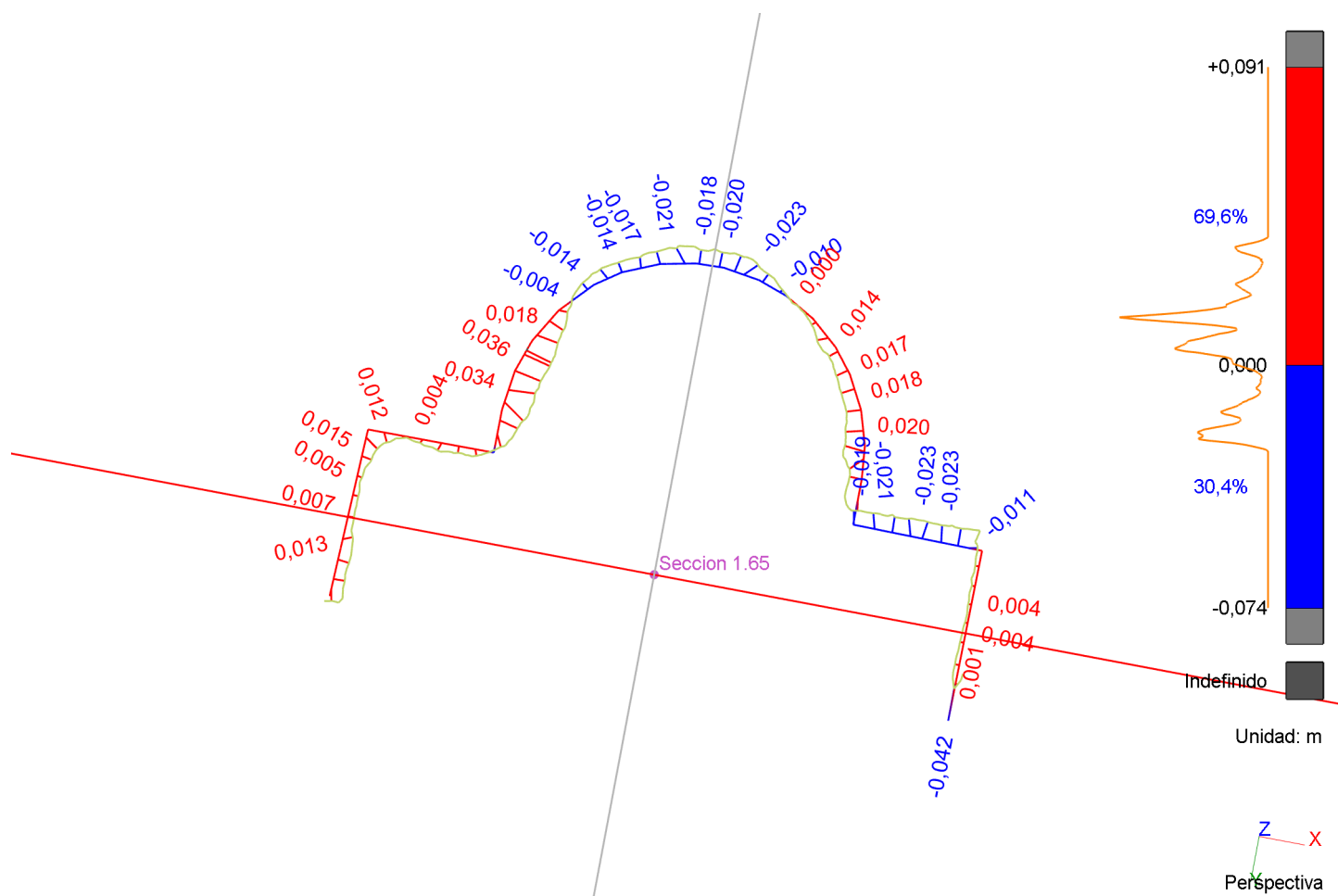
(X= -0,46382 m ; Y= 4,78329 m ; Z= 0,53266 m)



Seccion 1.65

(X= -0,46637 m ; Y= 4,78375 m ; Z= 0,68264 m)

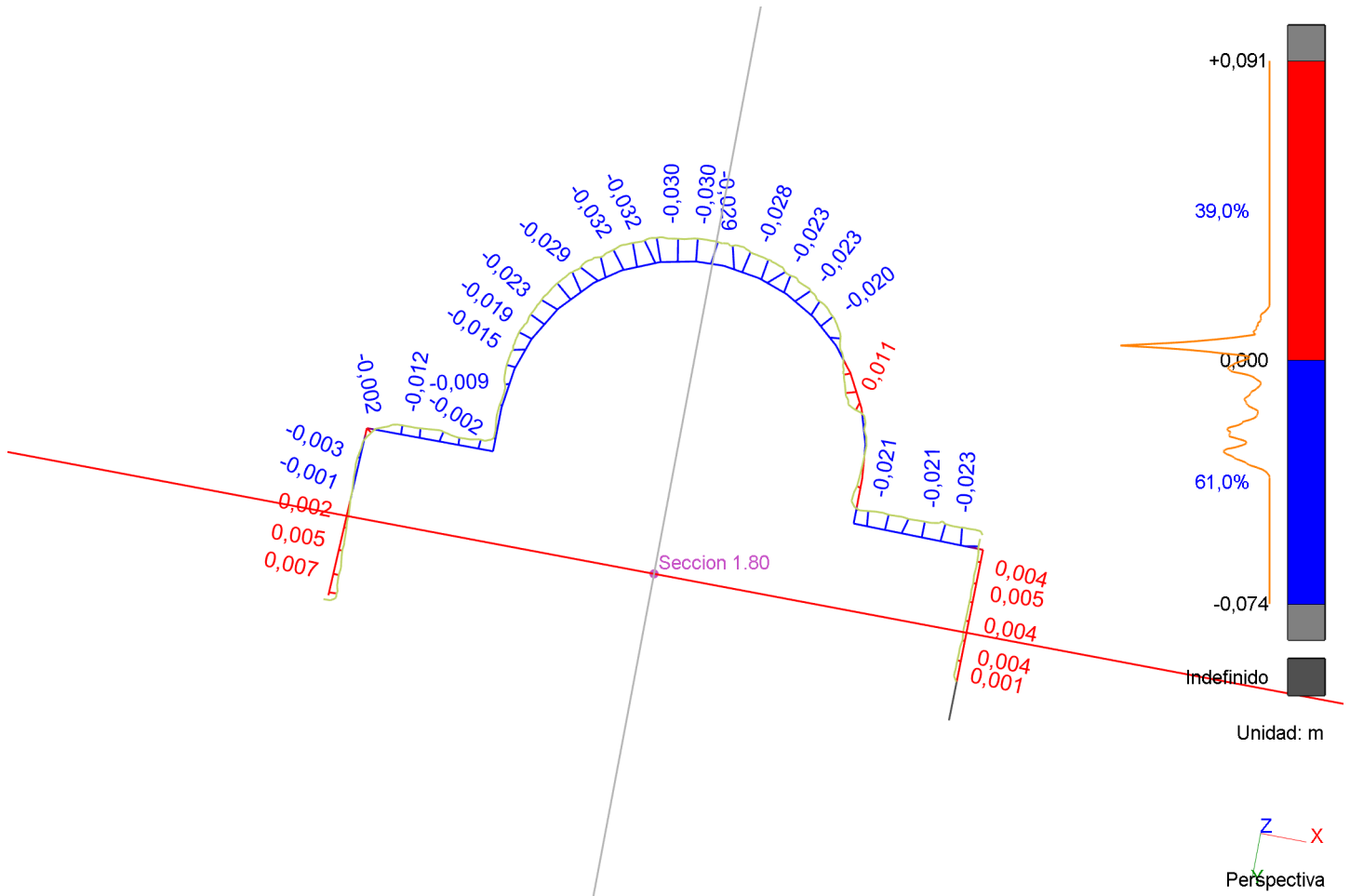
Seccion 1.65



Seccion 1.80

(X= -0,46892 m ; Y= 4,78421 m ; Z= 0,83262 m)

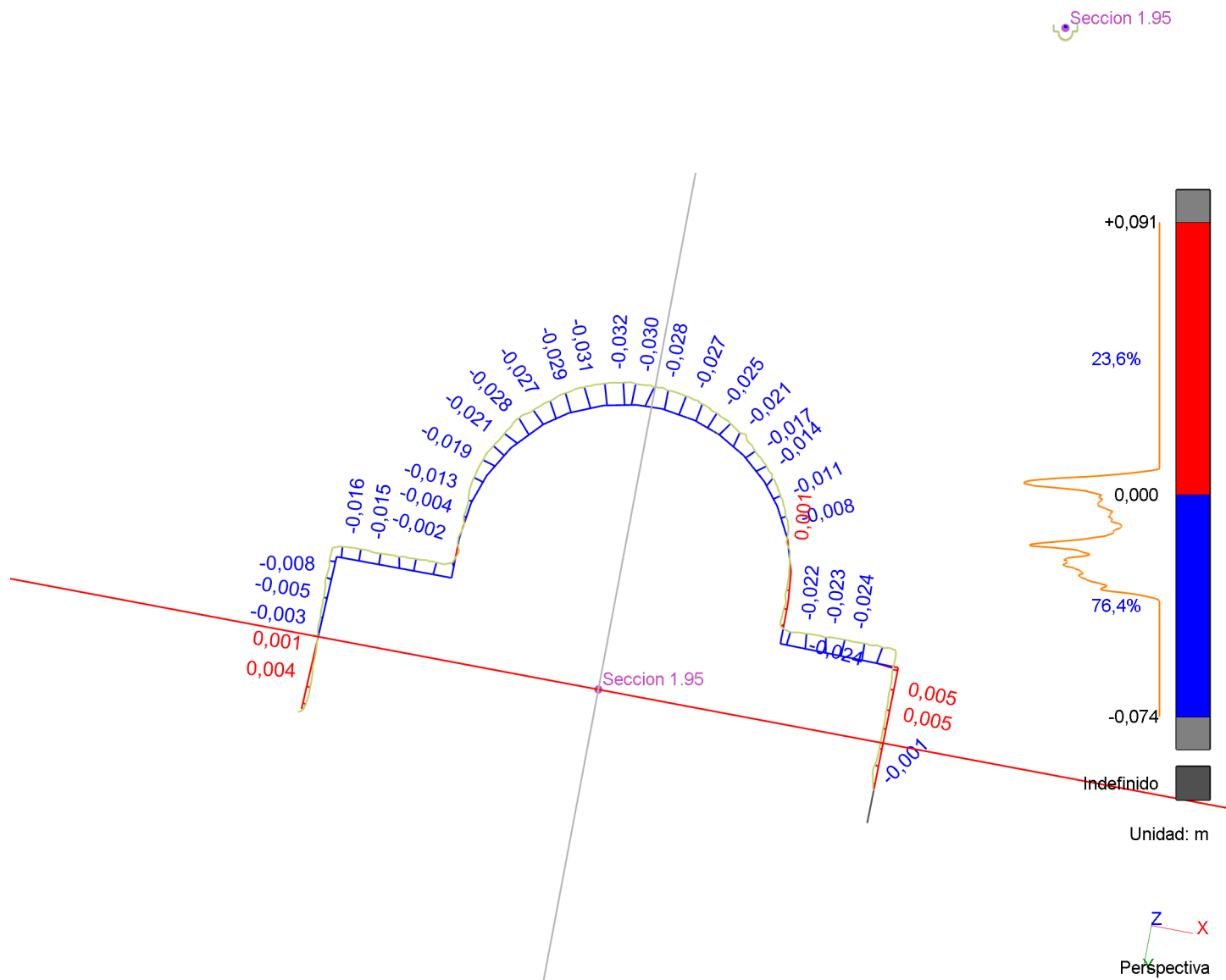
Seccion 1.80



Magnification x1,00000

Seccion 1.95

(X= -0,47147 m ; Y= 4,78468 m ; Z= 0,98260 m)



Magnification x1,00000



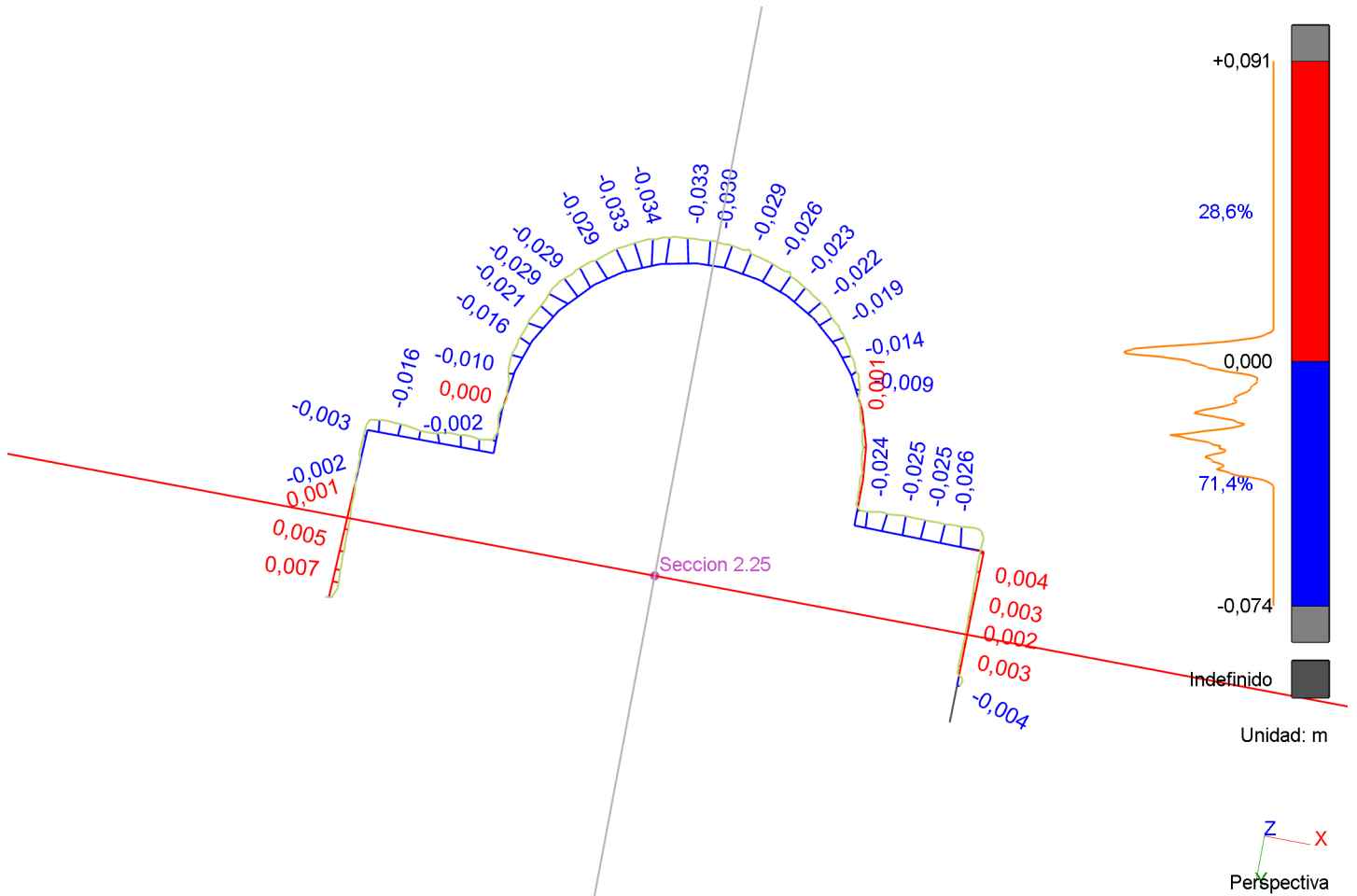
(X= -0,47402 m ; Y= 4,78514 m ; Z= 1,13257 m)



Seccion 2.25

(X= -0,47657 m ; Y= 4,78561 m ; Z= 1,28255 m)

Seccion 2.25

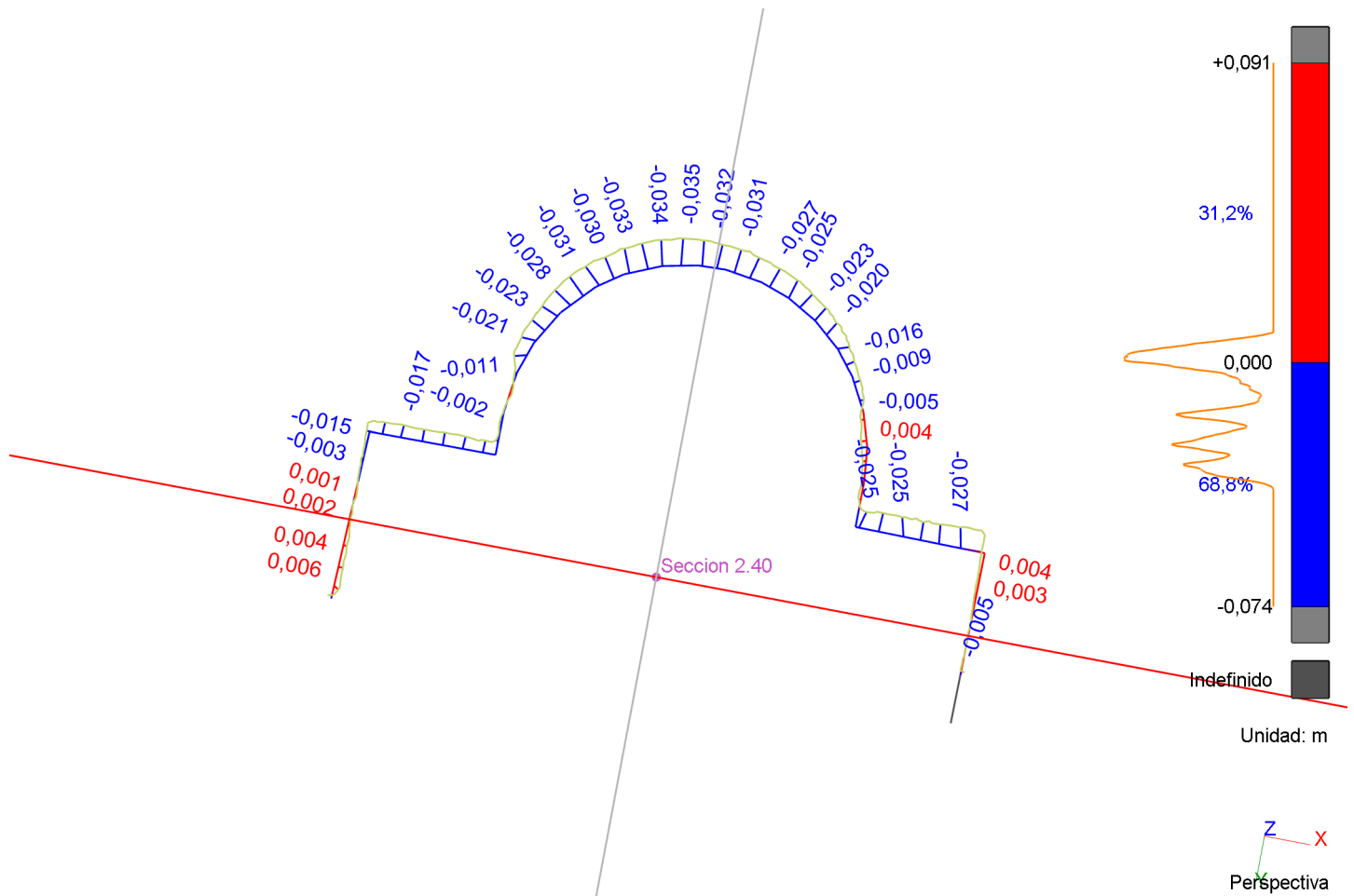


Magnification x1,00000

Seccion 2.40

(X= -0,47912 m ; Y= 4,78607 m ; Z= 1,43253 m)

Seccion 2.40

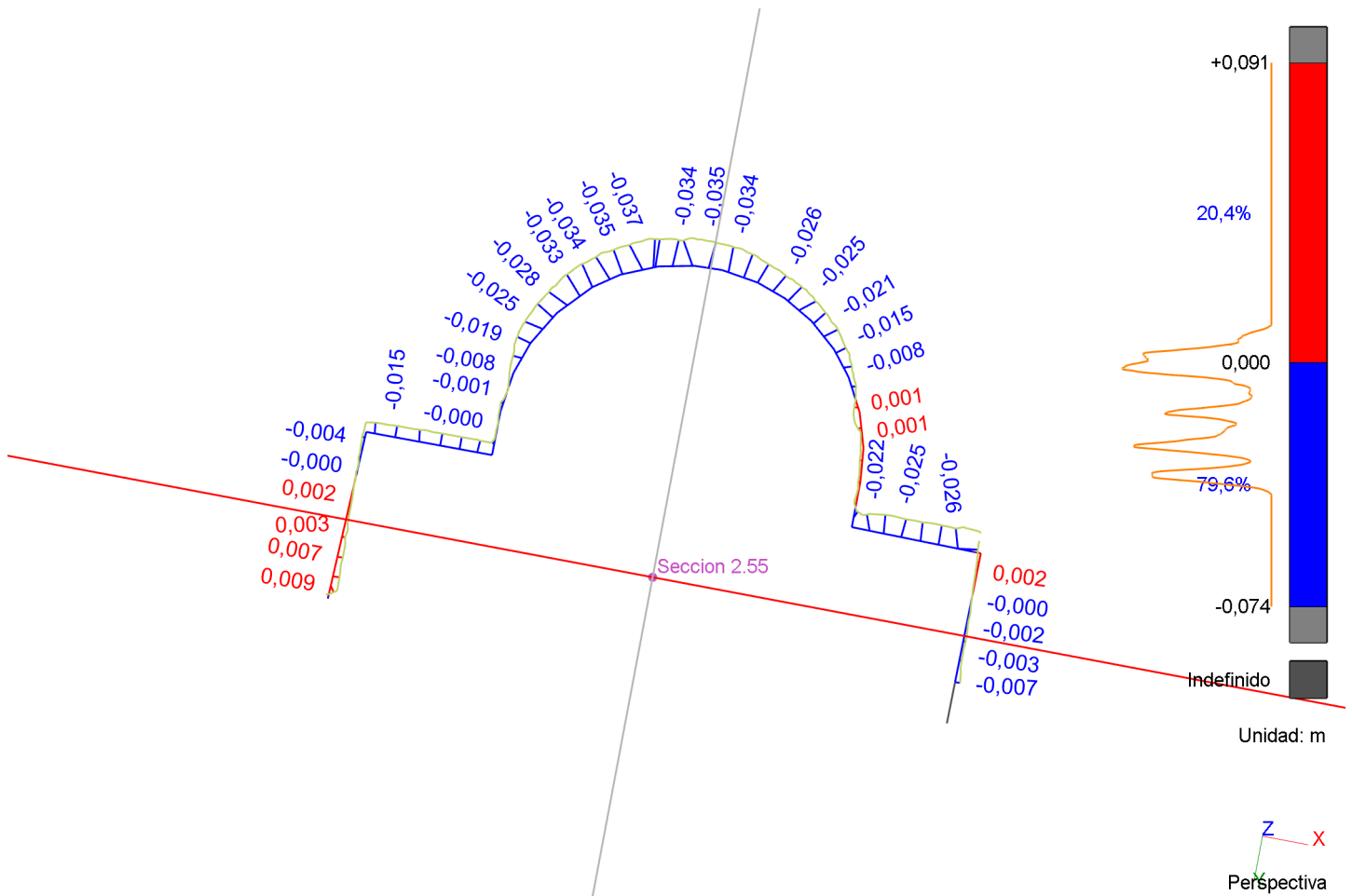


Magnification x1,00000

Seccion 2.55

(X= -0,48168 m ; Y= 4,78653 m ; Z= 1,58251 m)

Seccion 2.55

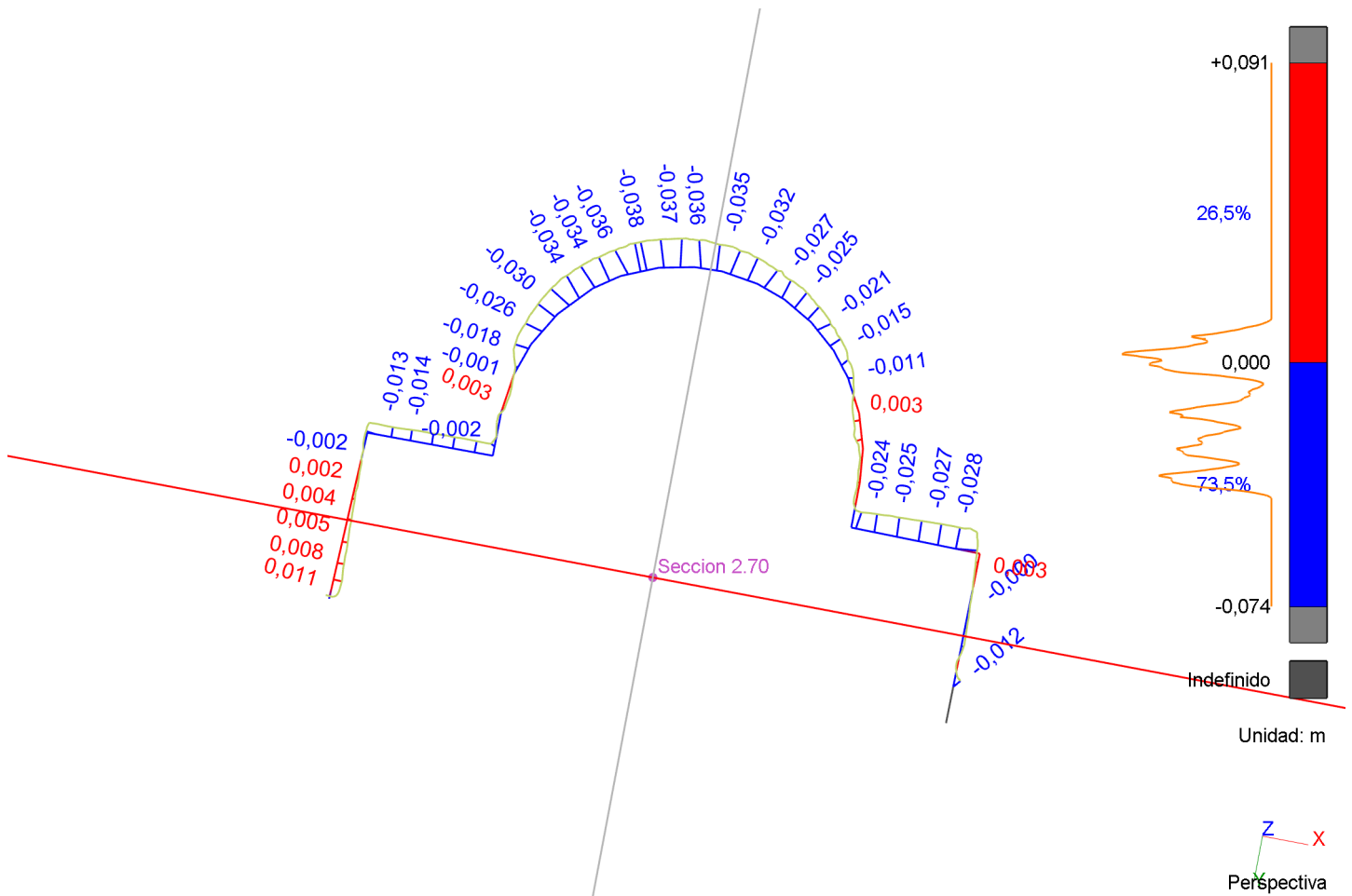


Magnification x1,00000

Seccion 2.70

(X= -0,48423 m ; Y= 4,78700 m ; Z= 1,73249 m)

Seccion 2.70

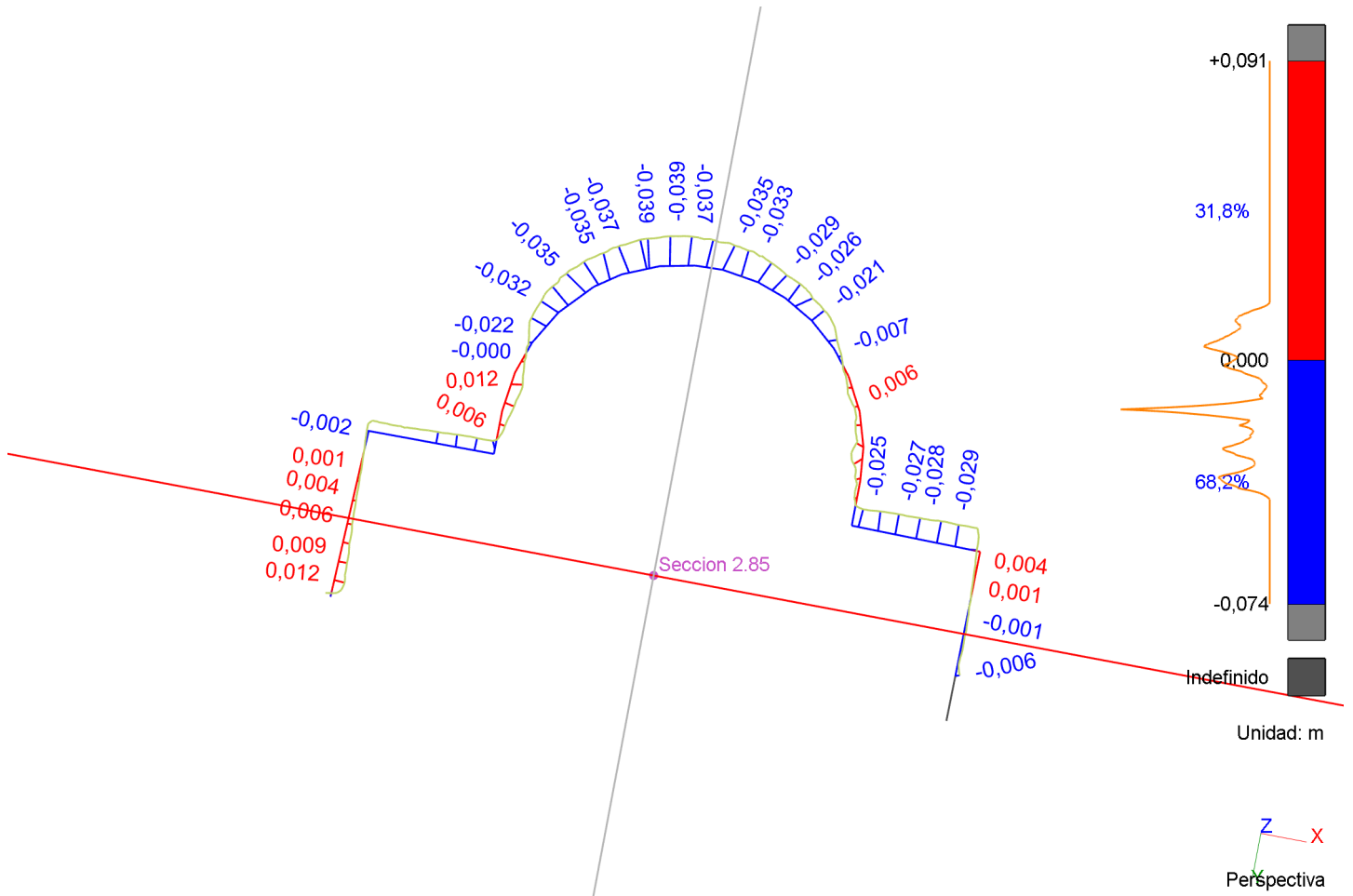


Magnification x1,00000

Seccion 2.85

(X= -0,48678 m ; Y= 4,78746 m ; Z= 1,88246 m)

Seccion 2.85

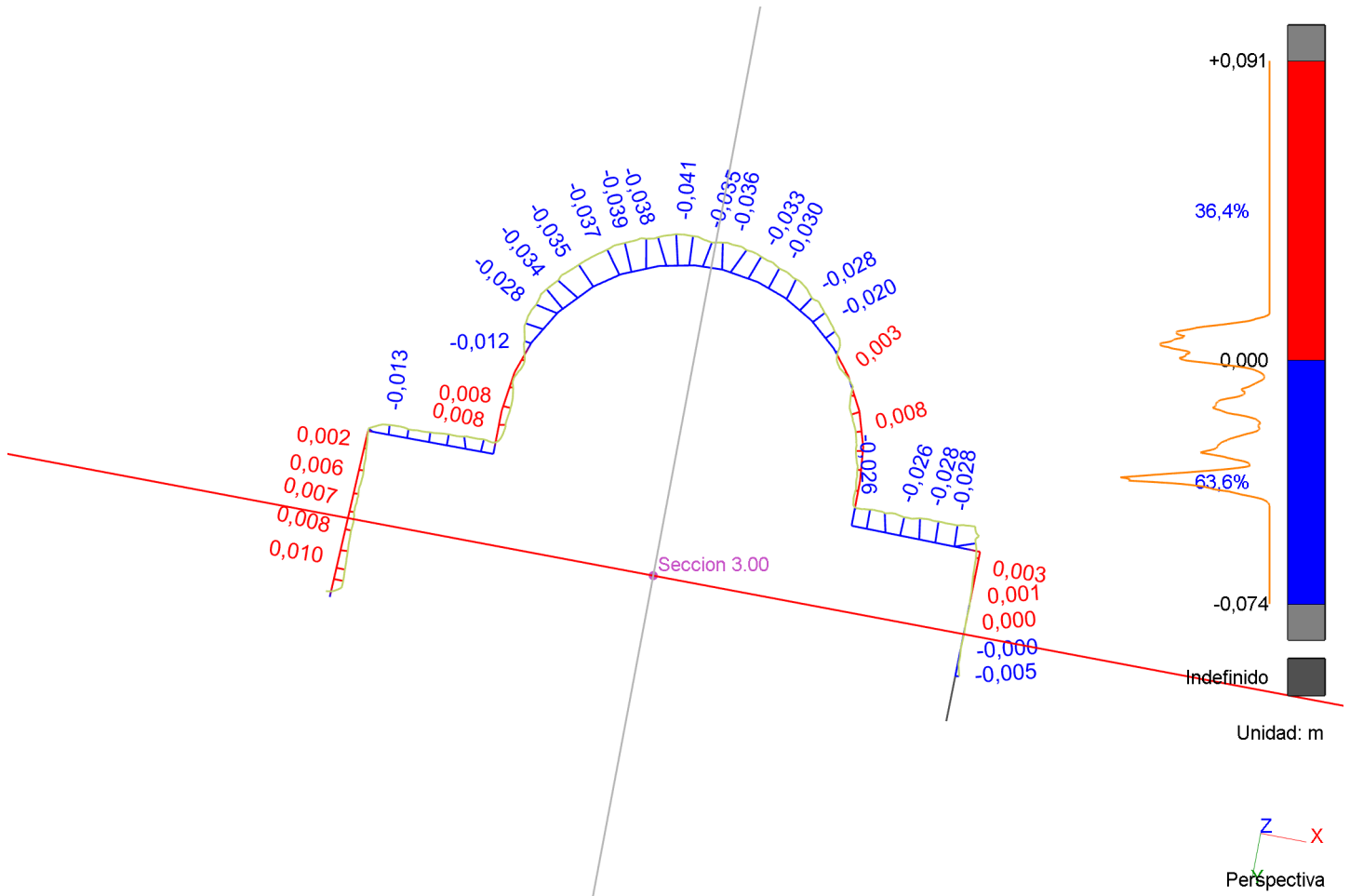


Magnification x1,00000

Seccion 3.00

(X= -0,48933 m ; Y= 4,78793 m ; Z= 2,03244 m)

Seccion 3.00

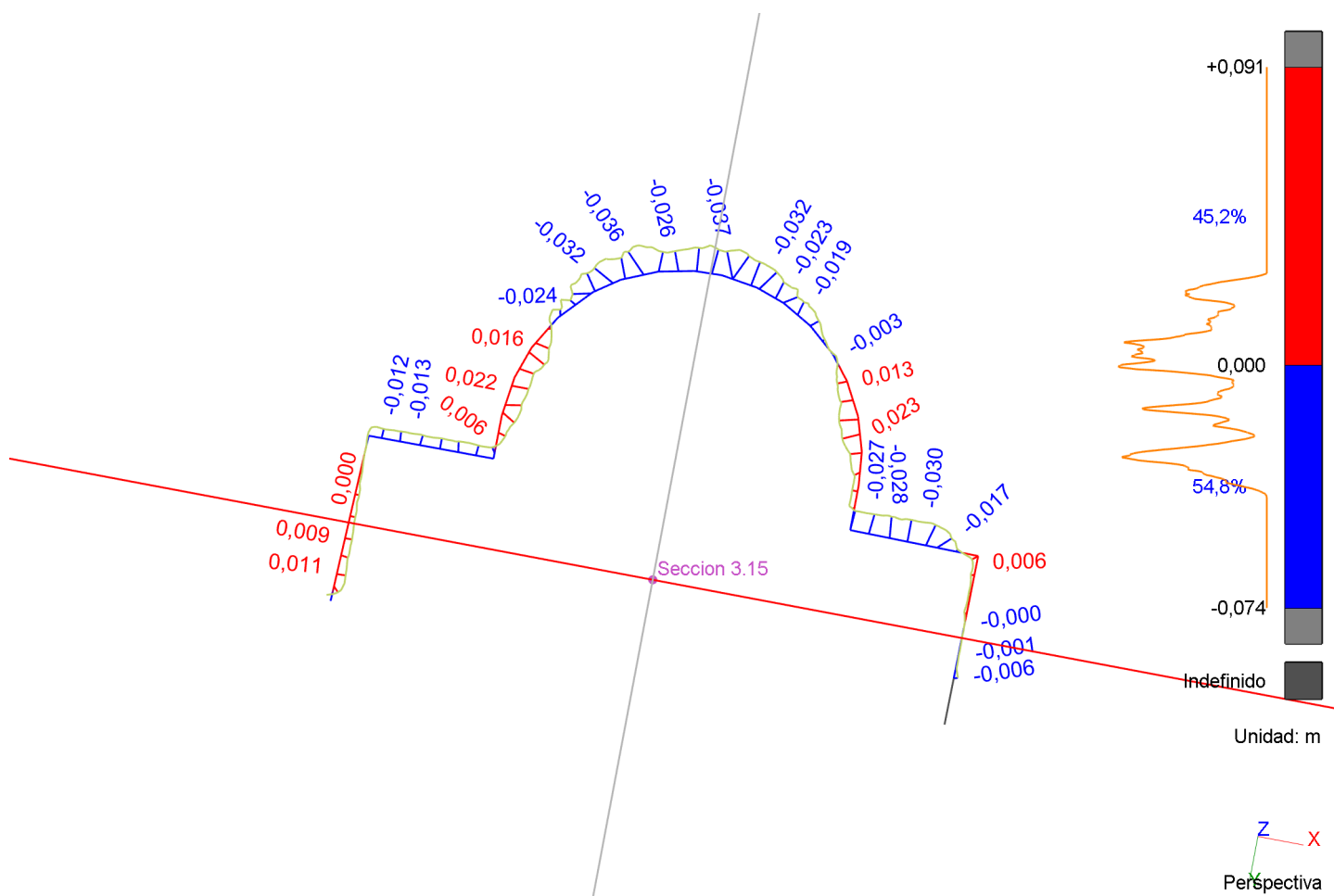


Magnification x1,00000

Seccion 3.15

(X= -0,49188 m ; Y= 4,78839 m ; Z= 2,18242 m)

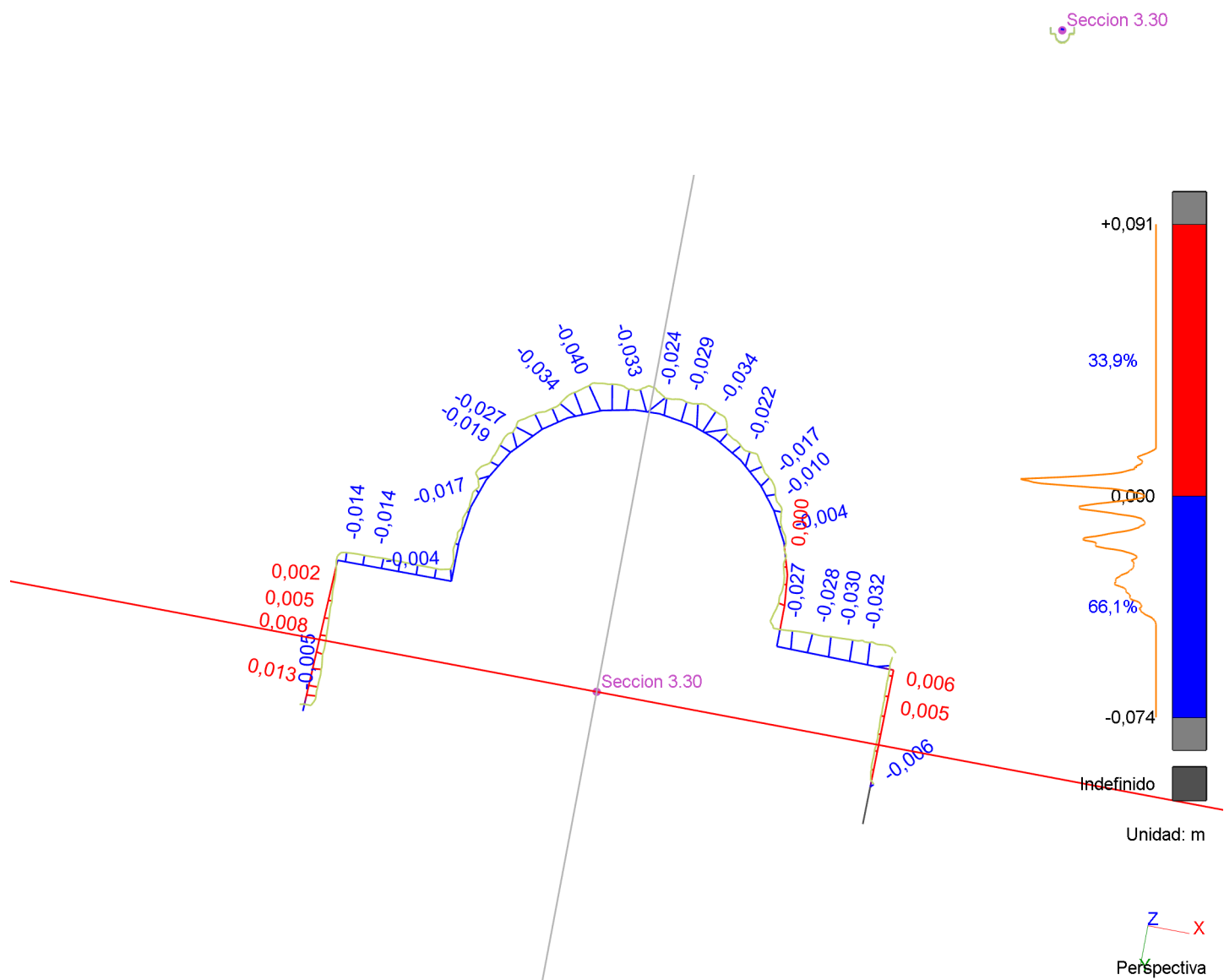
Seccion 3.15



Magnification x1,00000

Seccion 3.30

(X= -0,49443 m ; Y= 4,78885 m ; Z= 2,33240 m)

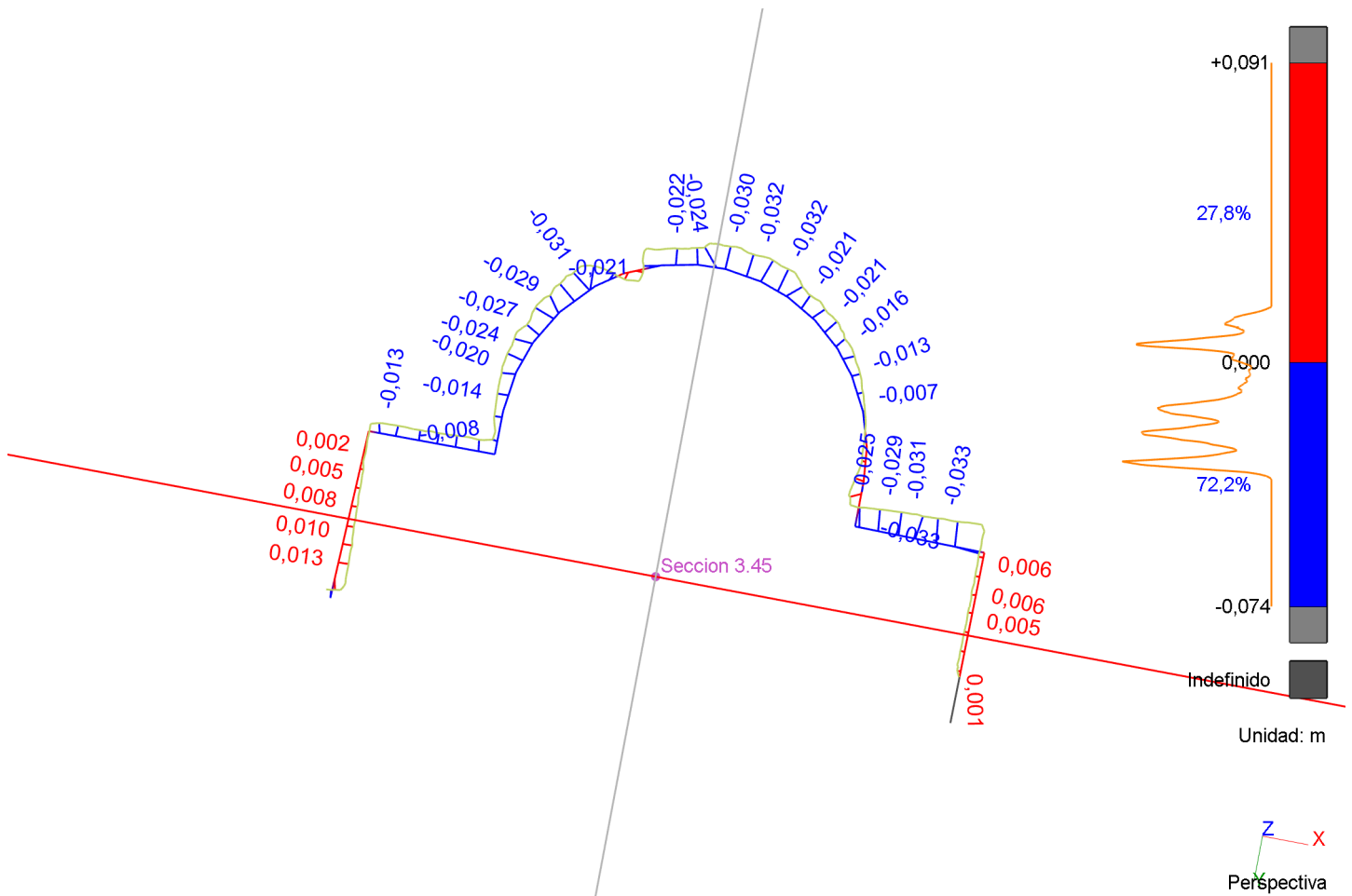


Magnification x1,00000

Seccion 3.45

(X= -0,49698 m ; Y= 4,78932 m ; Z= 2,48237 m)

Seccion 3.45

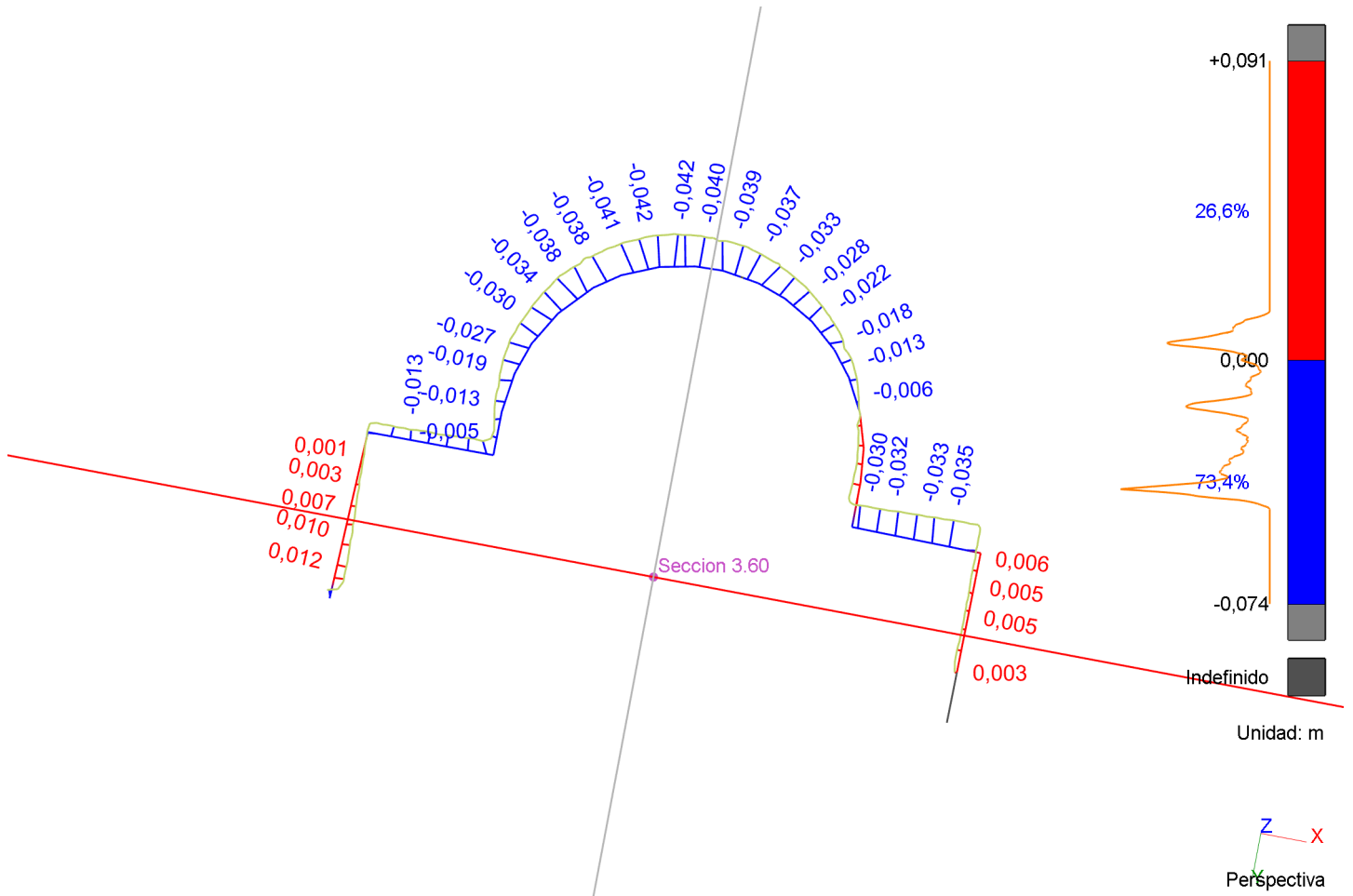


Magnification x1,00000

Seccion 3.60

(X= -0,49953 m ; Y= 4,78978 m ; Z= 2,63235 m)

Seccion 3.60

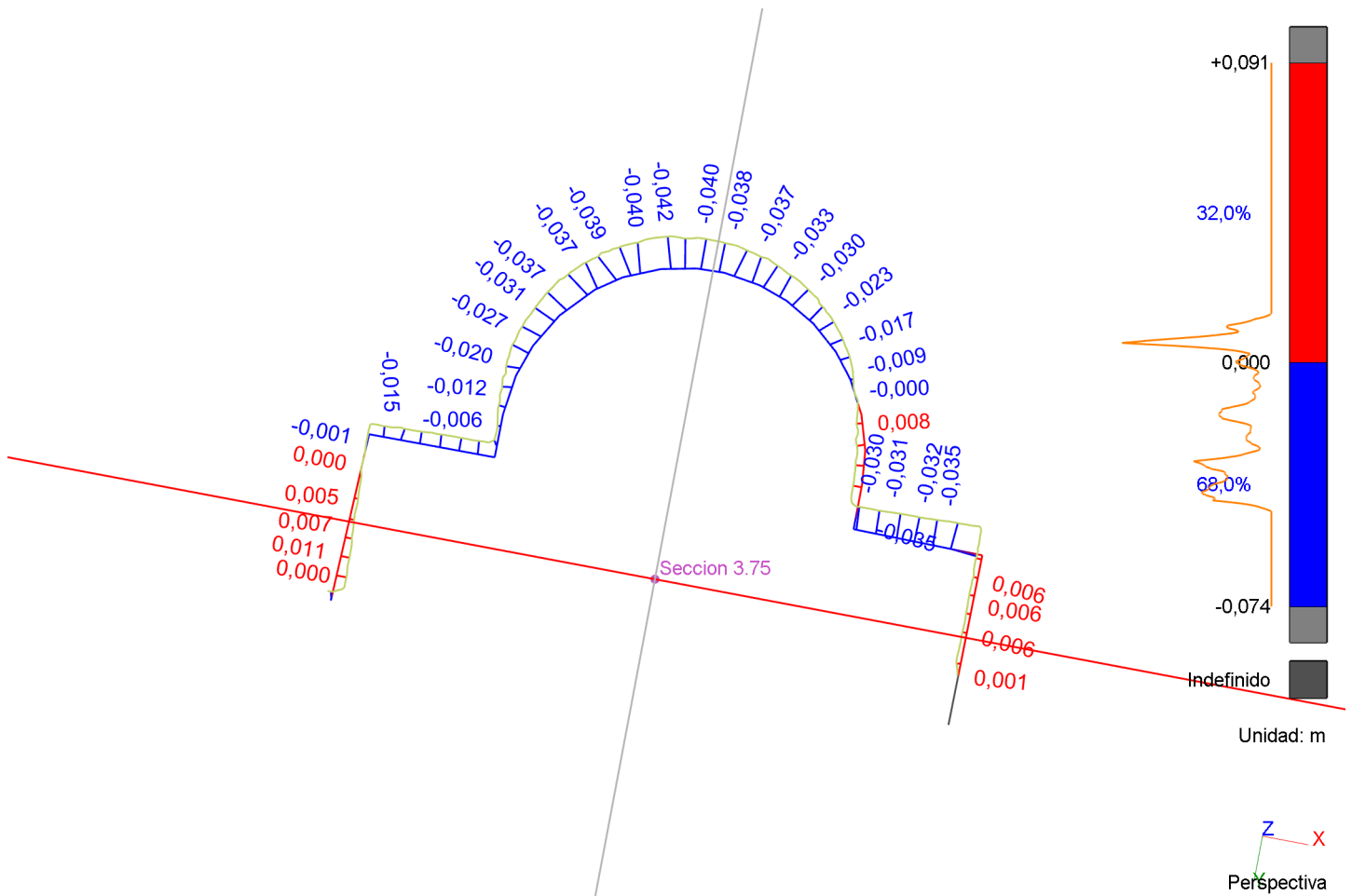


Magnification x1,00000

Seccion 3.75

(X= -0,50208 m ; Y= 4,79024 m ; Z= 2,78233 m)

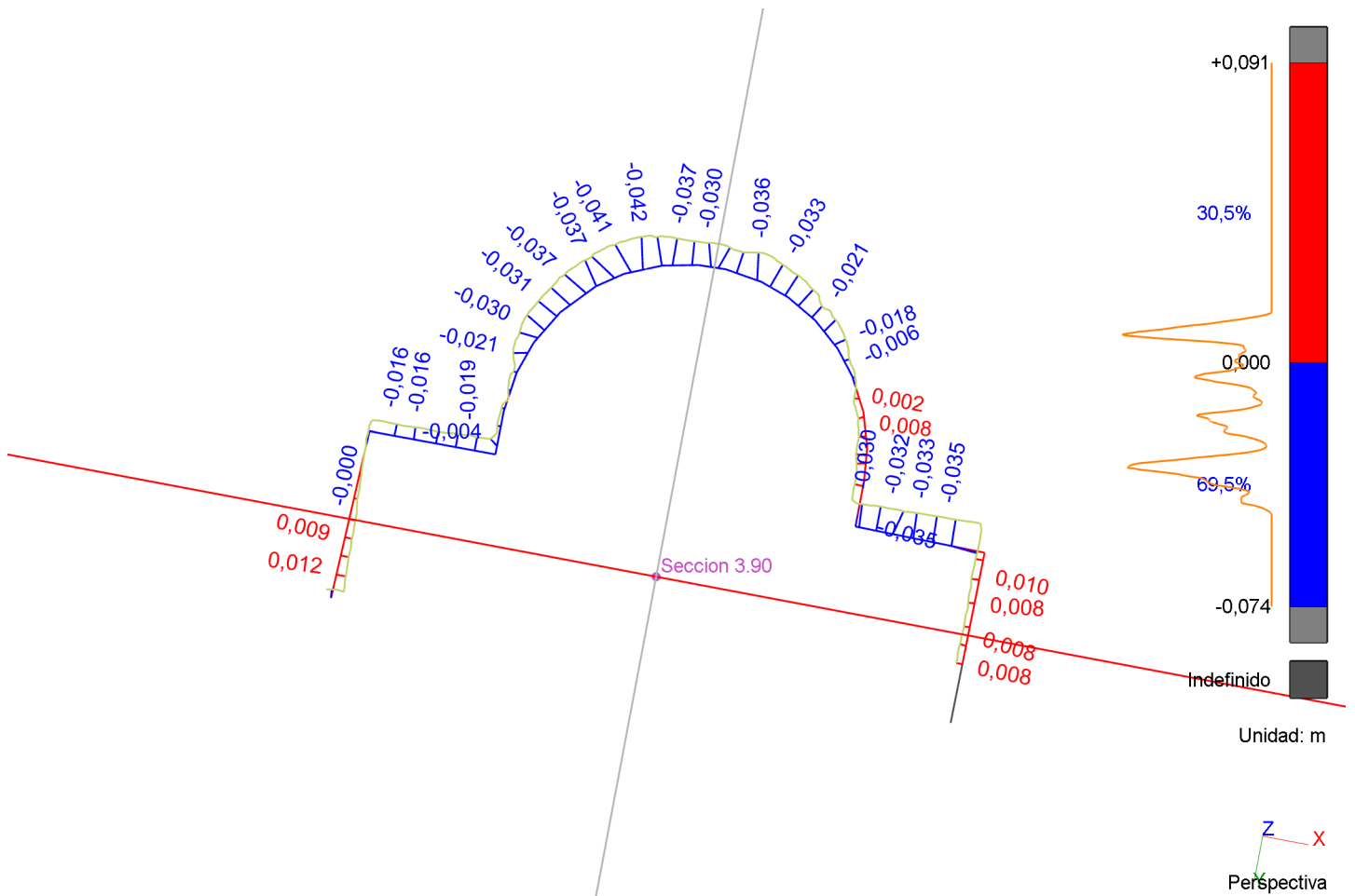
Seccion 3.75



Seccion 3.90

(X= -0,50463 m ; Y= 4,79071 m ; Z= 2,93231 m)

Seccion 3.90

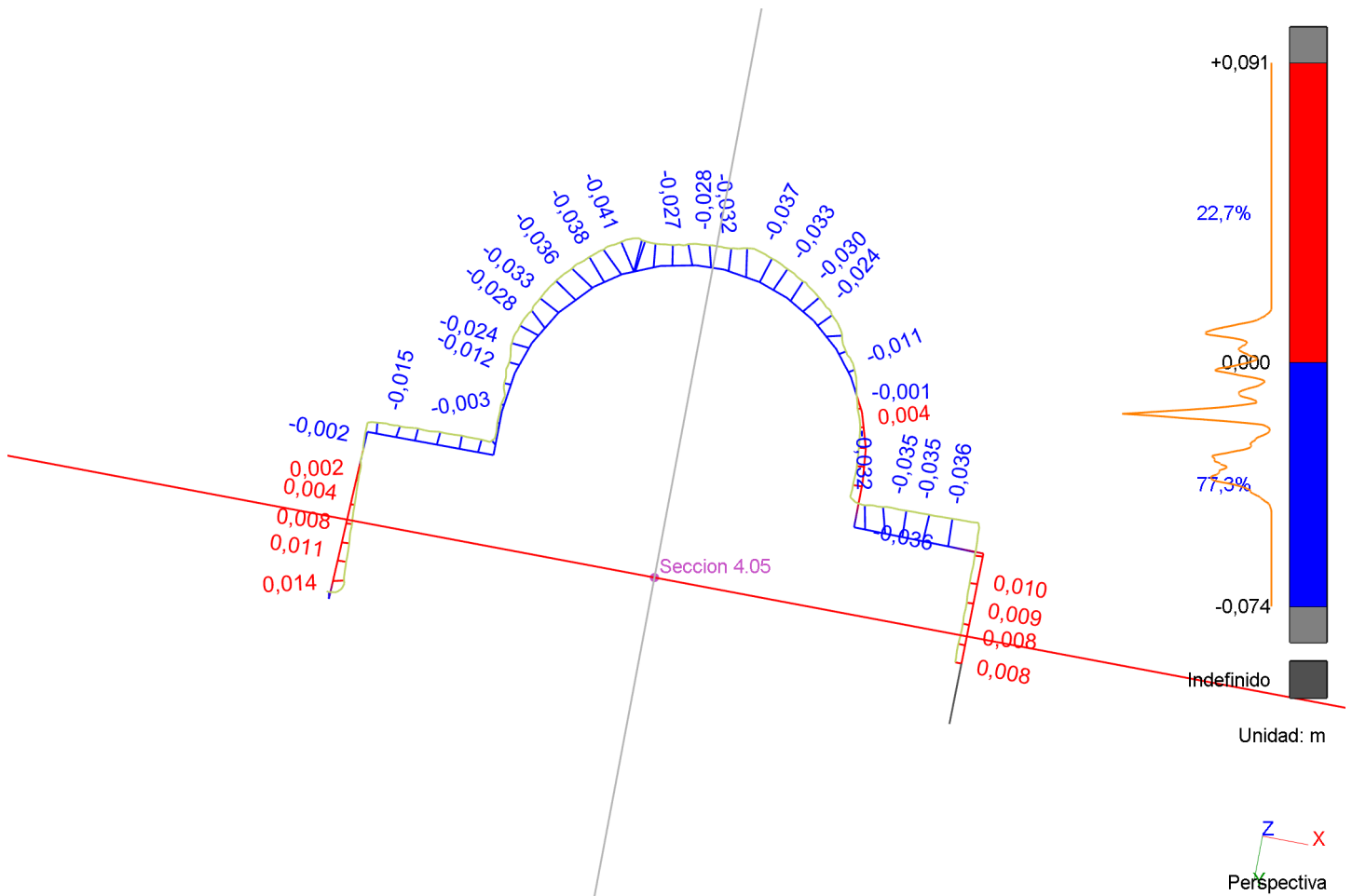


Magnification x1,00000

Seccion 4.05

(X= -0,50718 m ; Y= 4,79117 m ; Z= 3,08228 m)

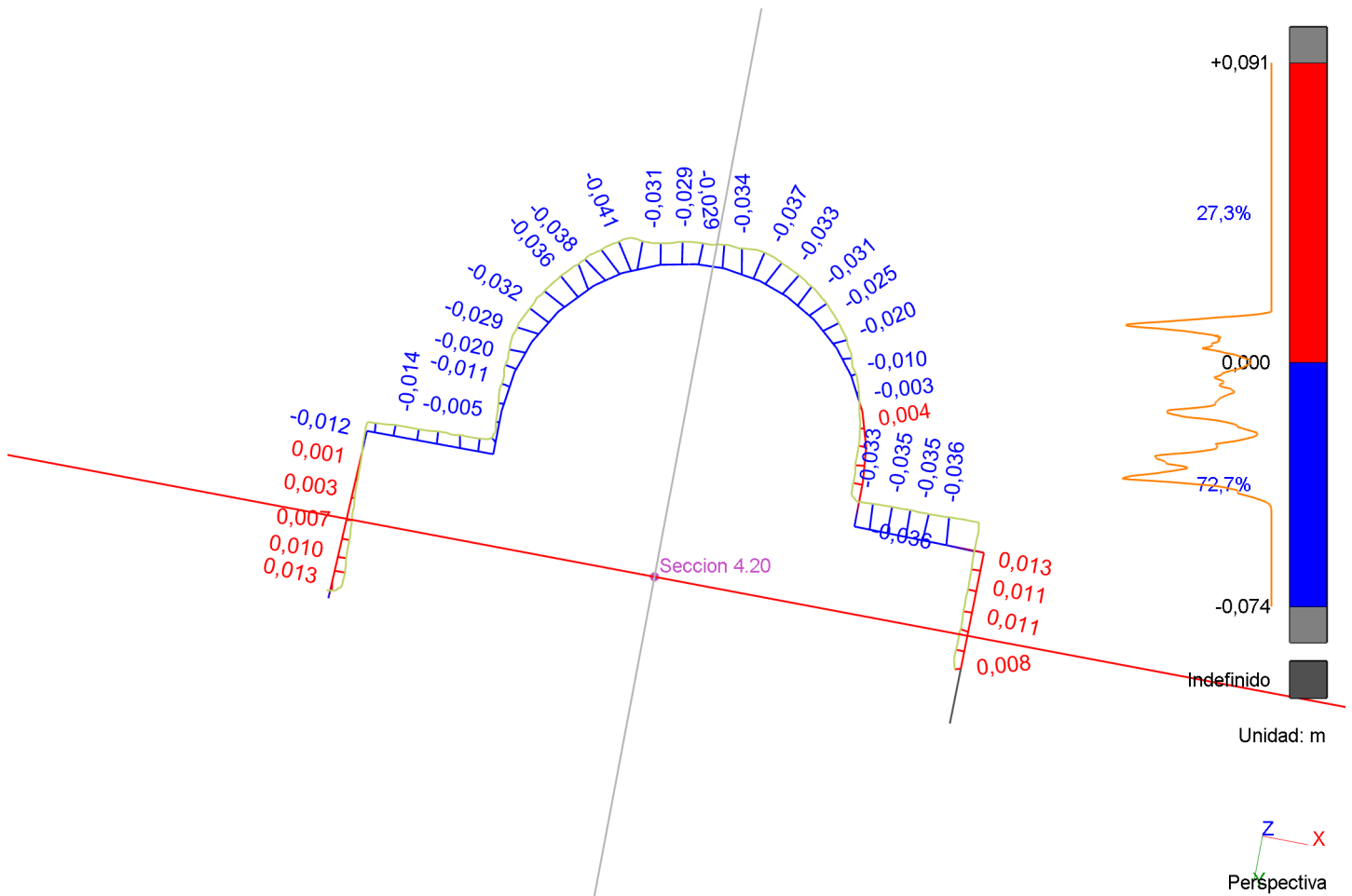
Seccion 4.05



Seccion 4.20

(X= -0,50973 m ; Y= 4,79164 m ; Z= 3,23226 m)

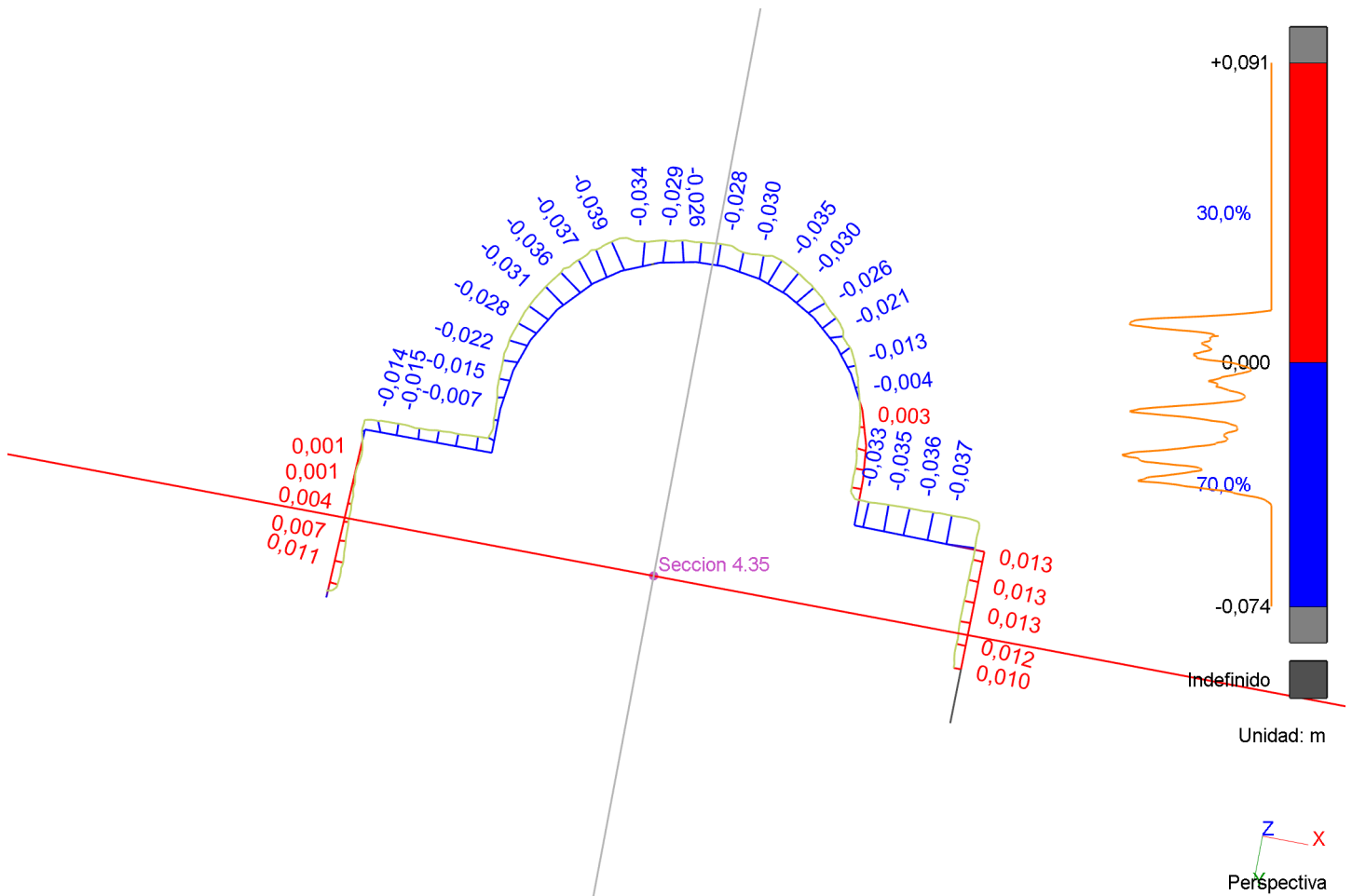
Seccion 4.20



Seccion 4.35

(X= -0,51228 m ; Y= 4,79210 m ; Z= 3,38224 m)

Seccion 4.35

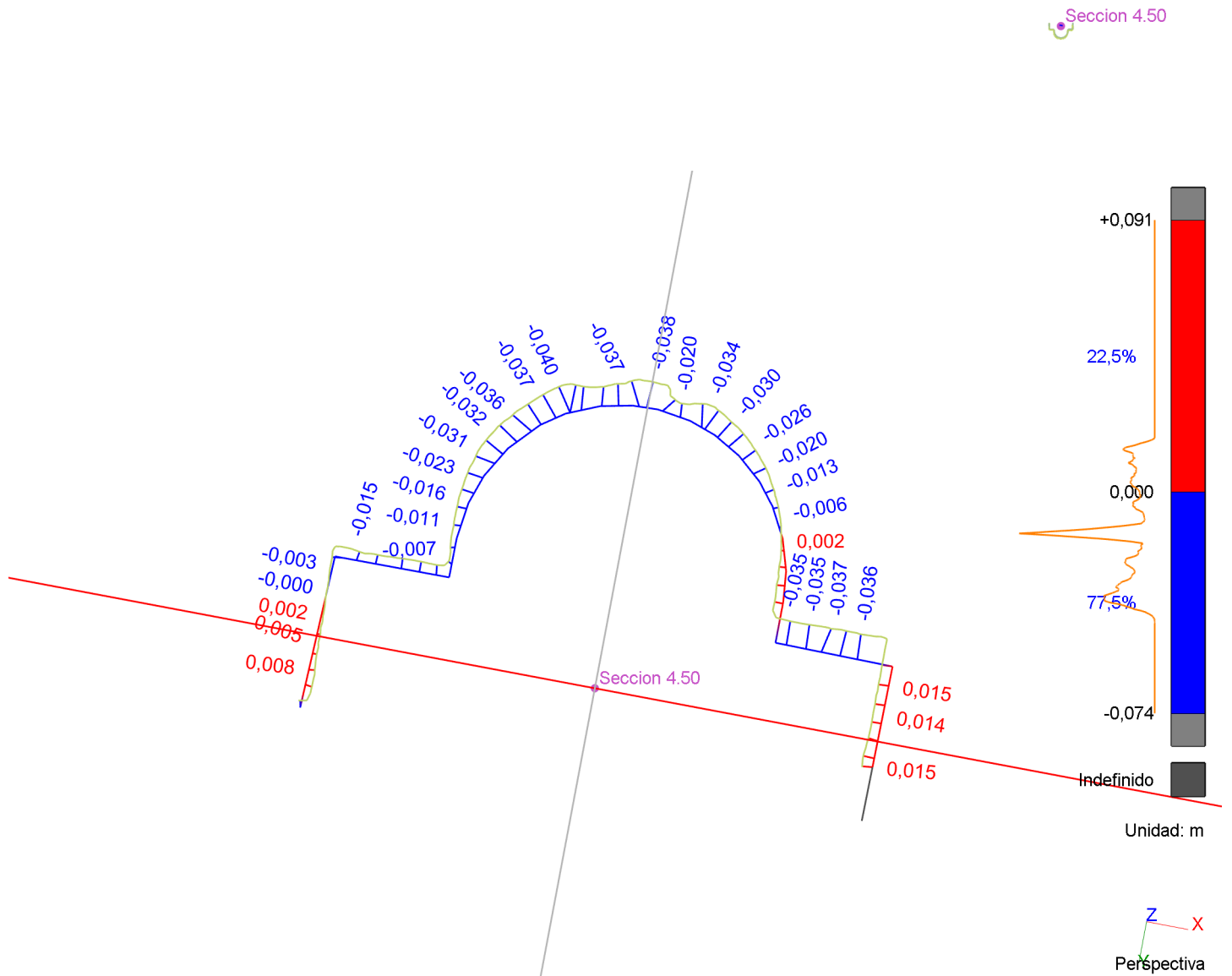


Magnification x1,00000

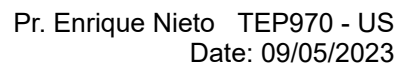


Seccion 4.50

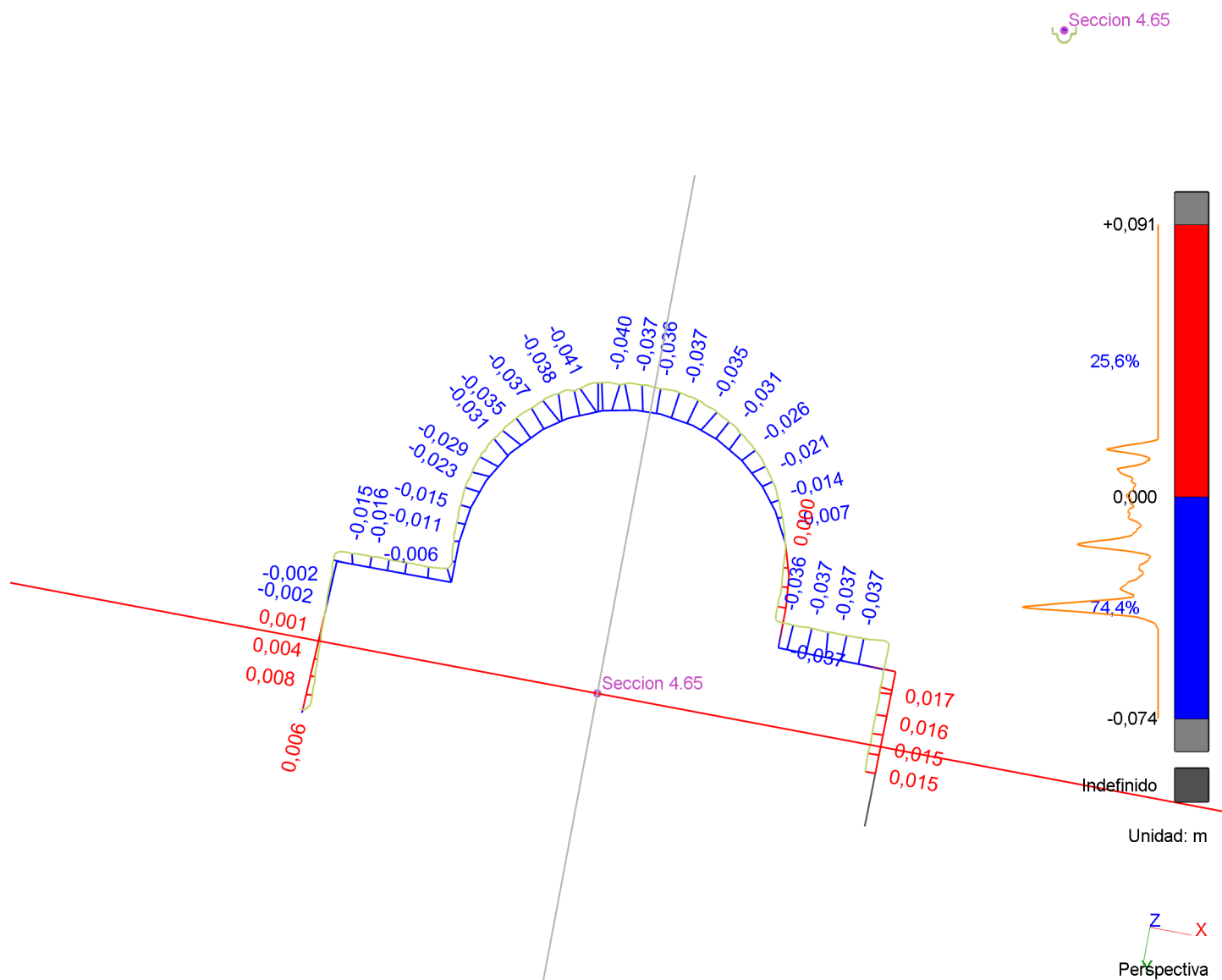
(X= -0,51483 m ; Y= 4,79256 m ; Z= 3,53222 m)



Magnification x1,00000



(X= -0,51739 m ; Y= 4,79303 m ; Z= 3,68219 m)

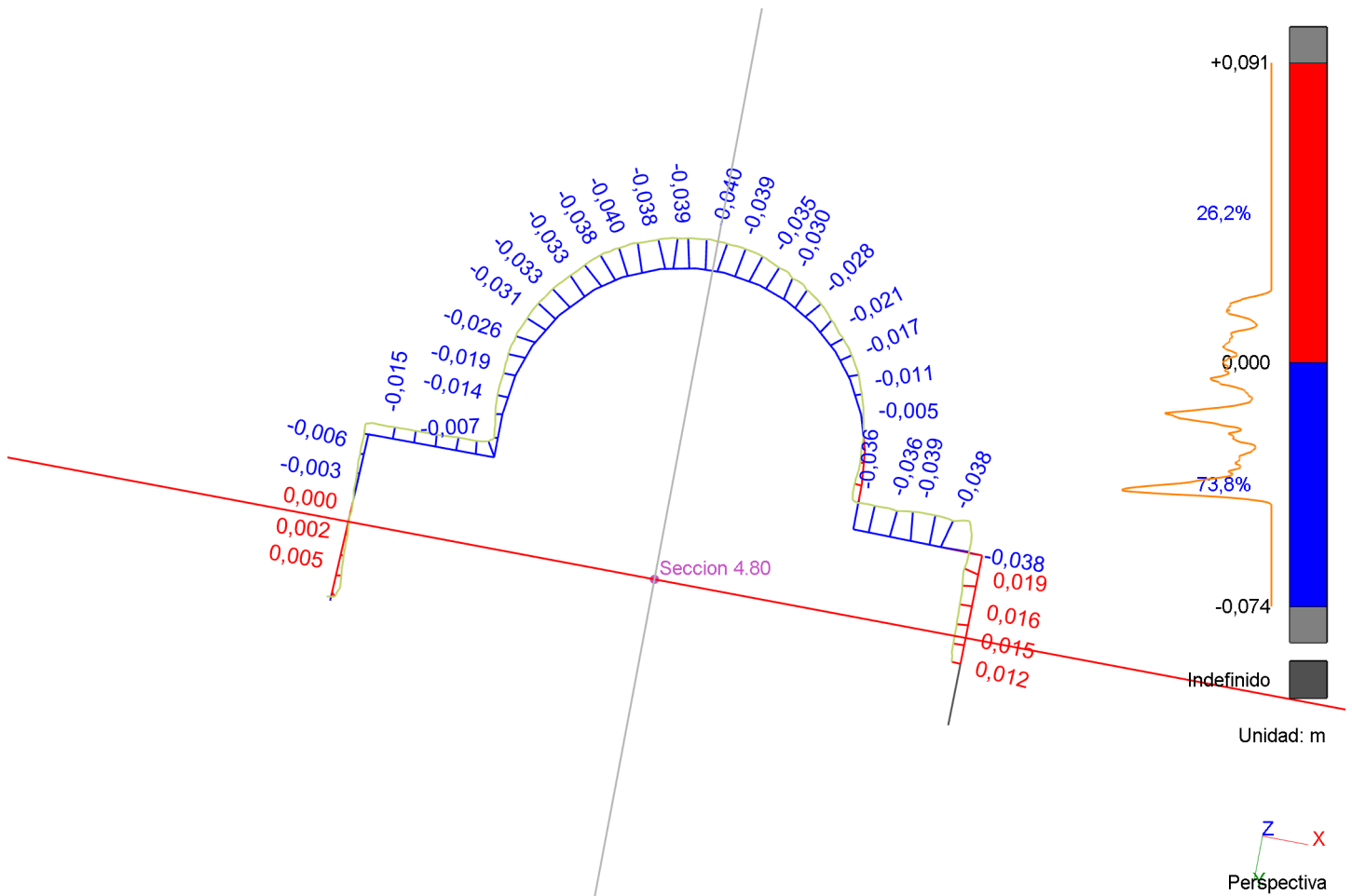


Magnification x1,00000

Seccion 4.80

(X= -0,51994 m ; Y= 4,79349 m ; Z= 3,83217 m)

Seccion 4.80

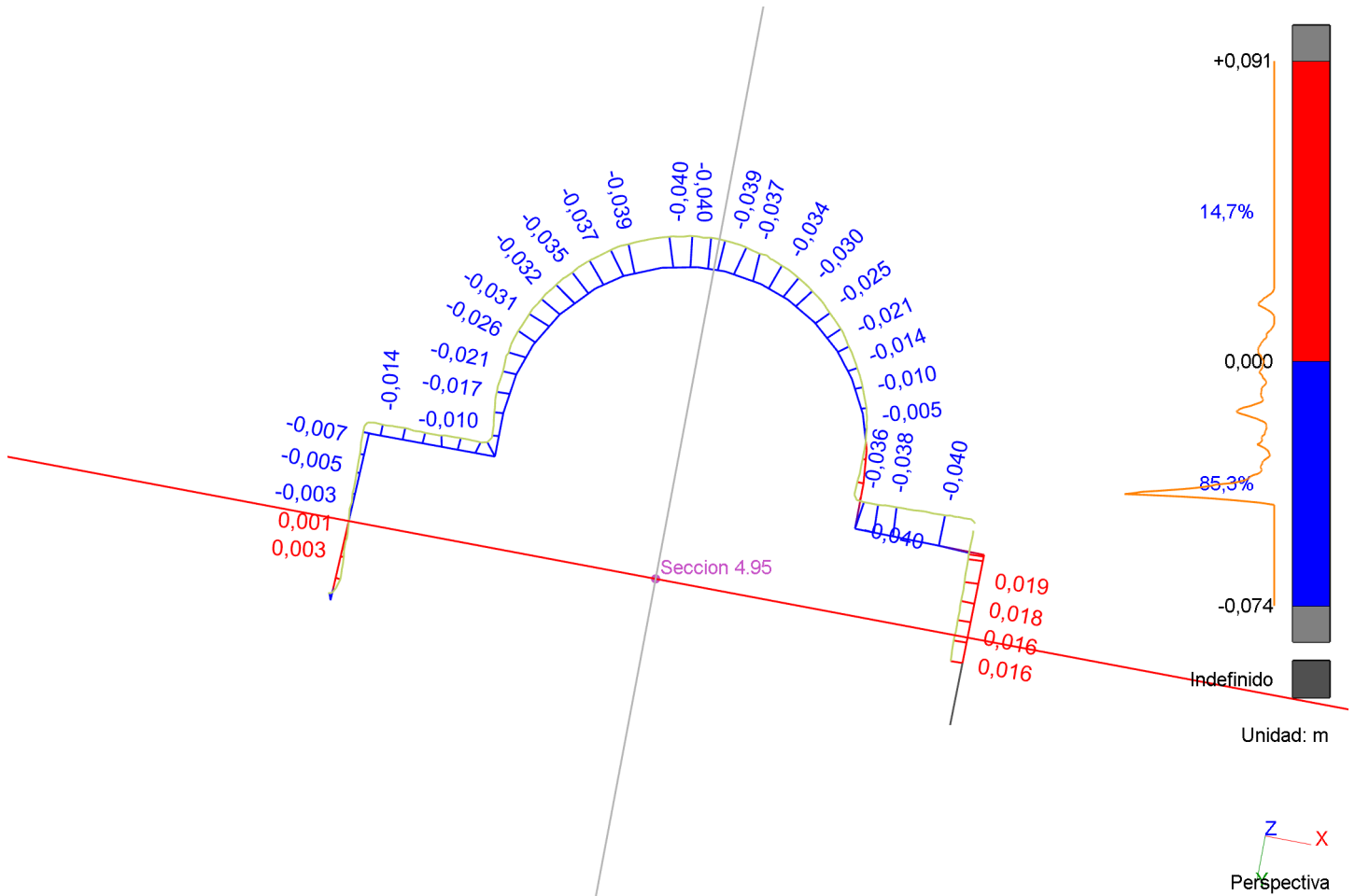


Magnification x1,00000

Seccion 4.95

(X= -0,52249 m ; Y= 4,79396 m ; Z= 3,98215 m)

Seccion 4.95

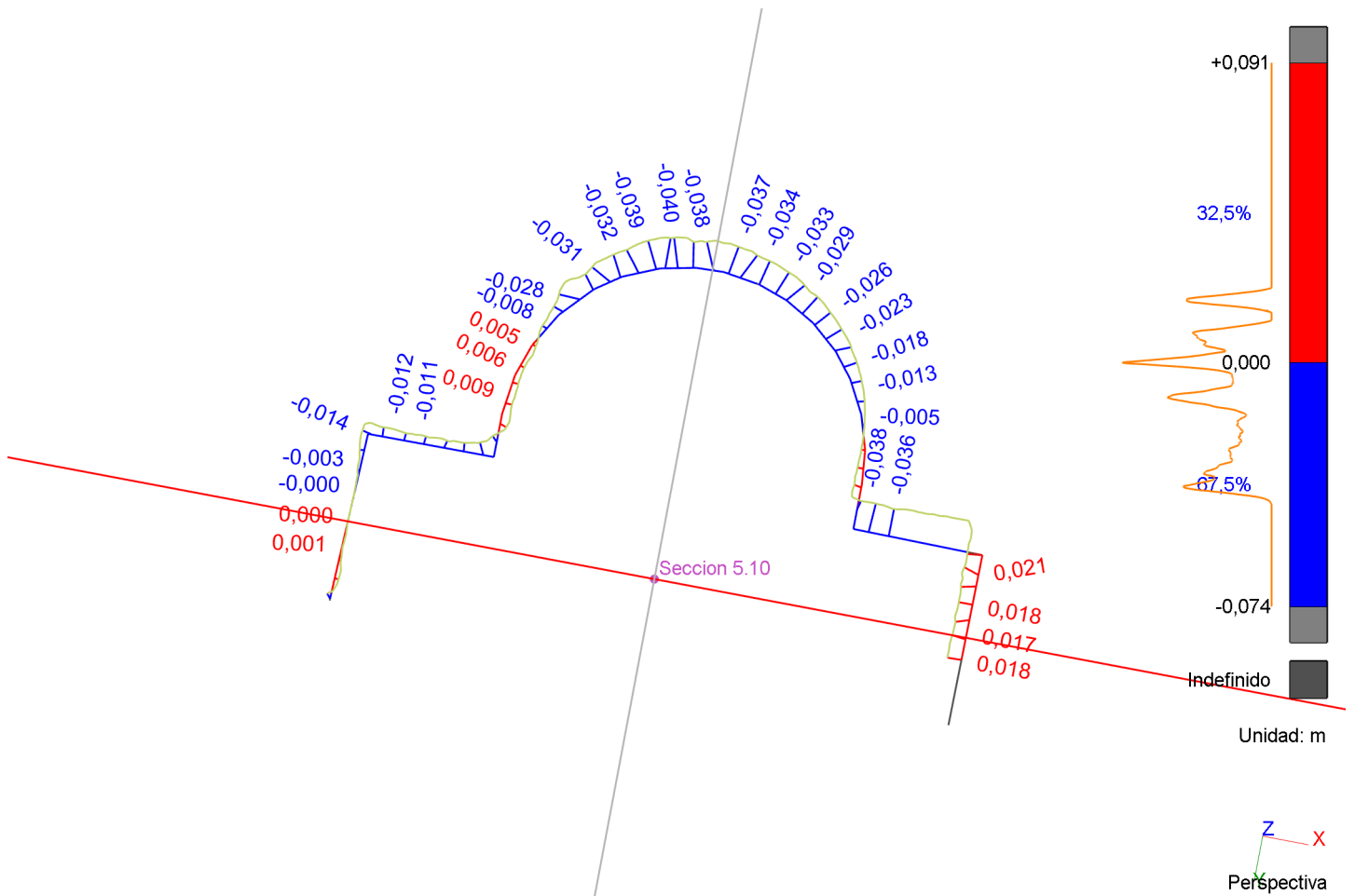


Magnification x1,00000

Seccion 5.10

(X= -0,52504 m ; Y= 4,79442 m ; Z= 4,13213 m)

Seccion 5.10

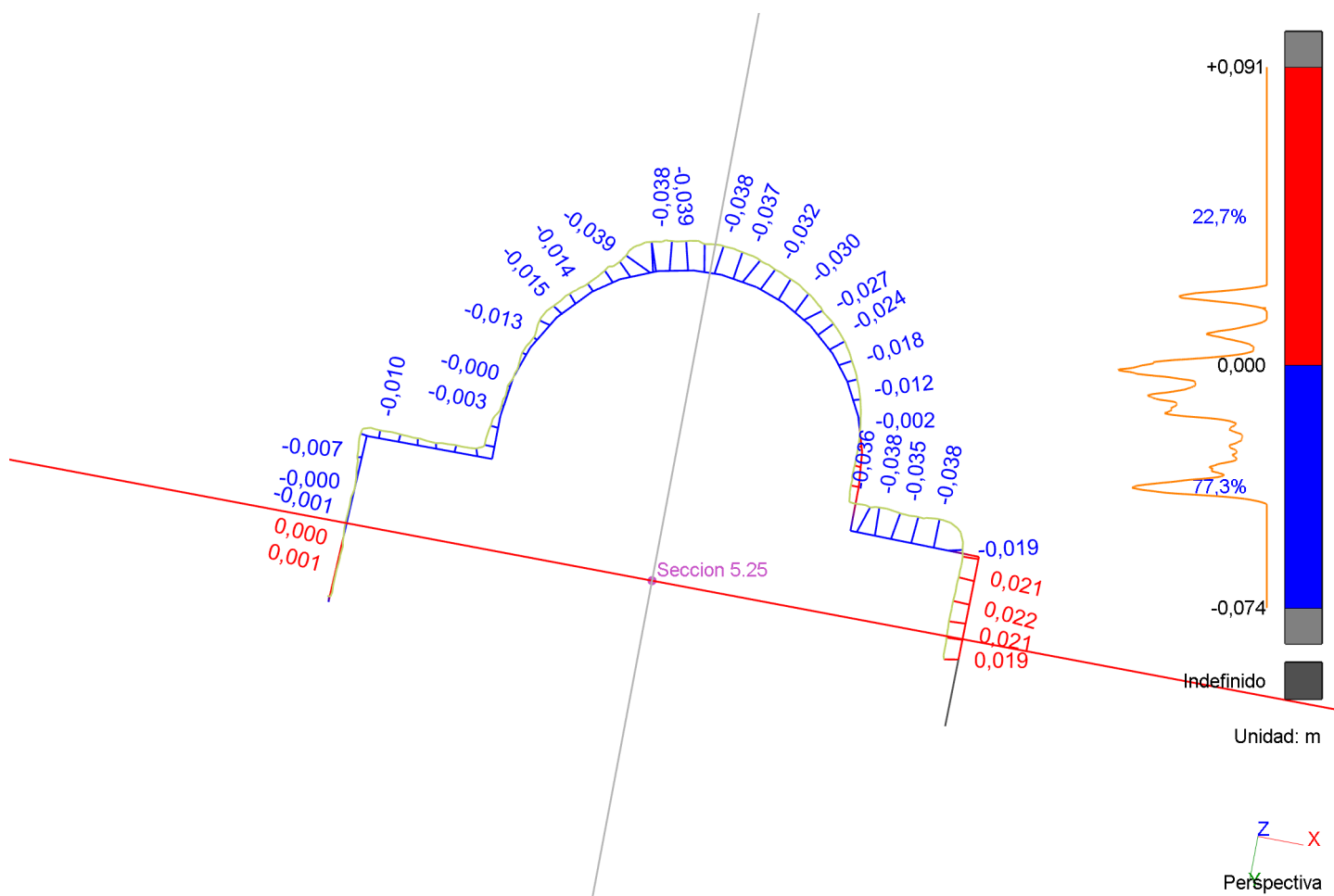


Magnification x1,00000

Seccion 5.25

(X= -0,52759 m ; Y= 4,79488 m ; Z= 4,28210 m)

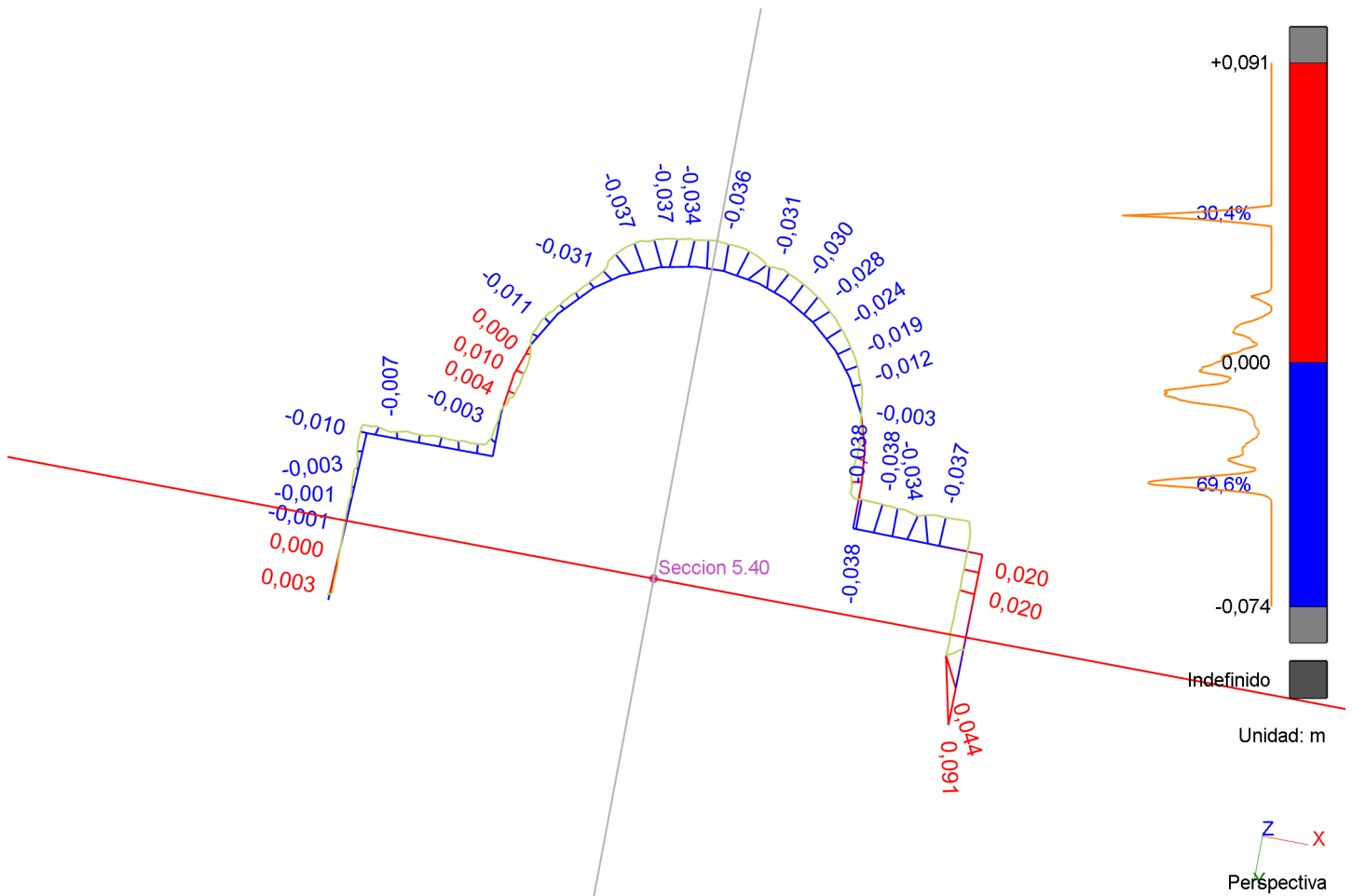
Seccion 5.25



Seccion 5.40

(X= -0,53014 m ; Y= 4,79535 m ; Z= 4,43208 m)

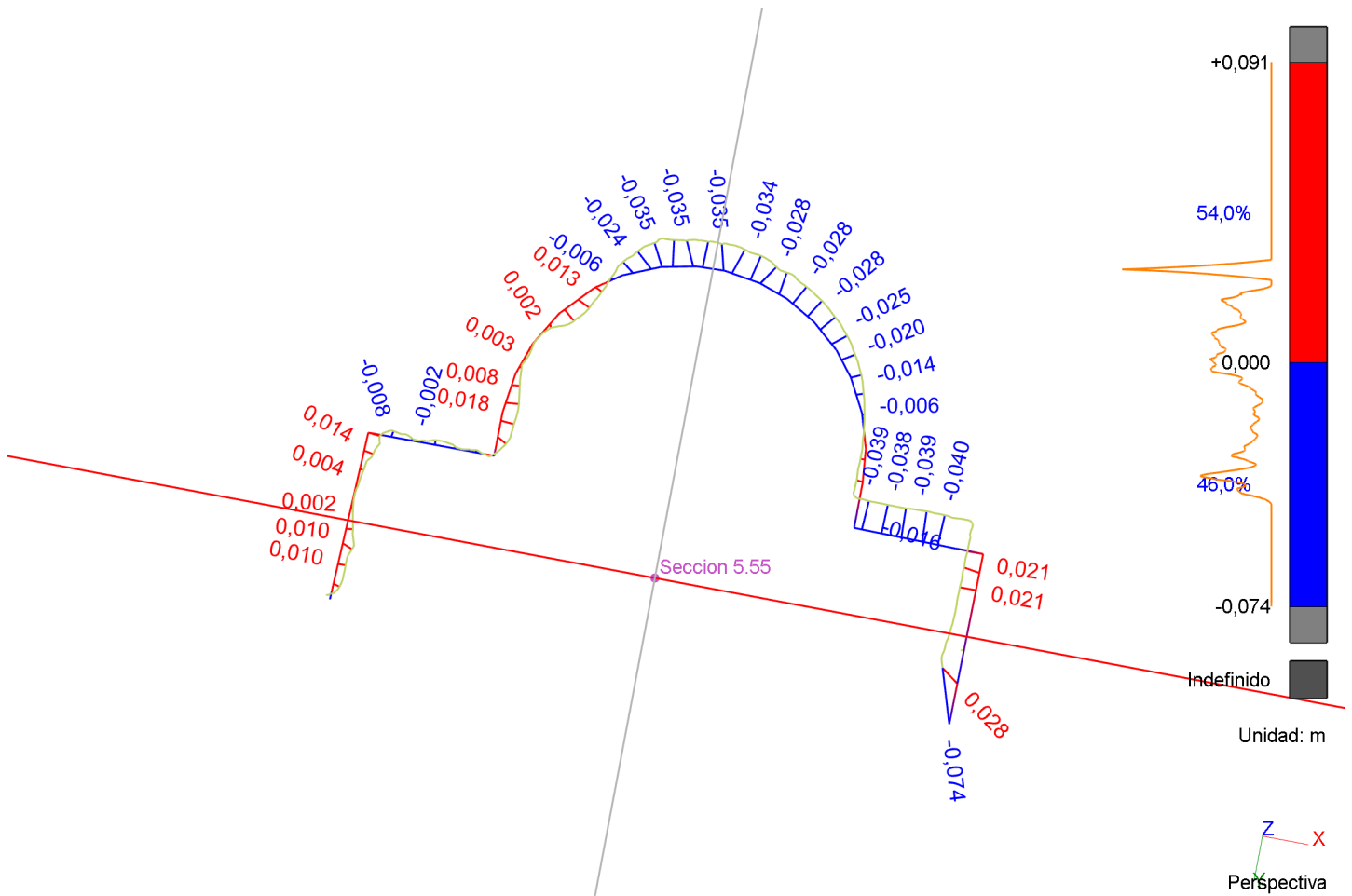
Seccion 5.40



Seccion 5.55

(X= -0,53269 m ; Y= 4,79581 m ; Z= 4,58206 m)

Seccion 5.55

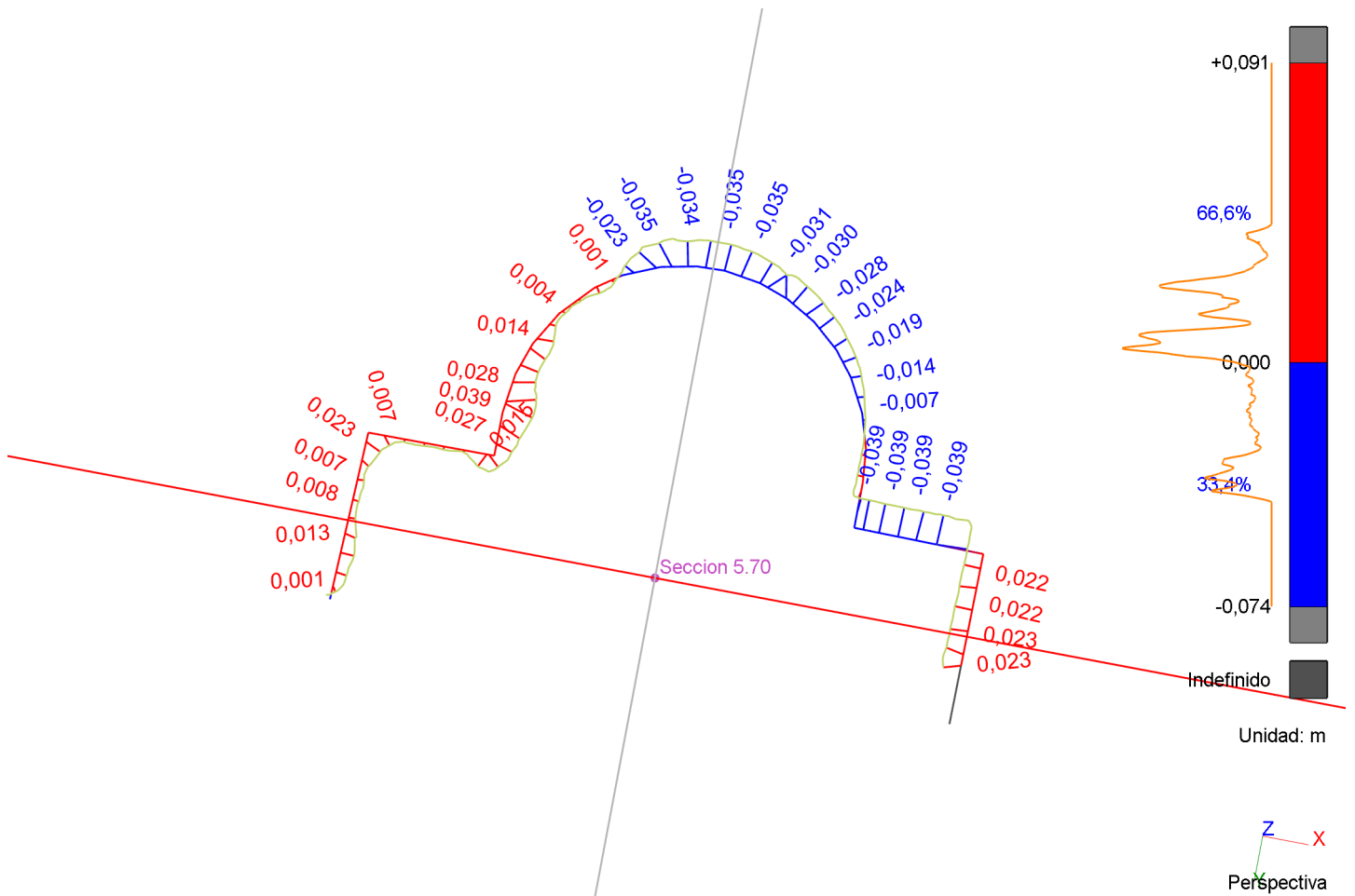


Magnification x1,00000

Seccion 5.70

(X= -0,53524 m ; Y= 4,79628 m ; Z= 4,73204 m)

Seccion 5.70

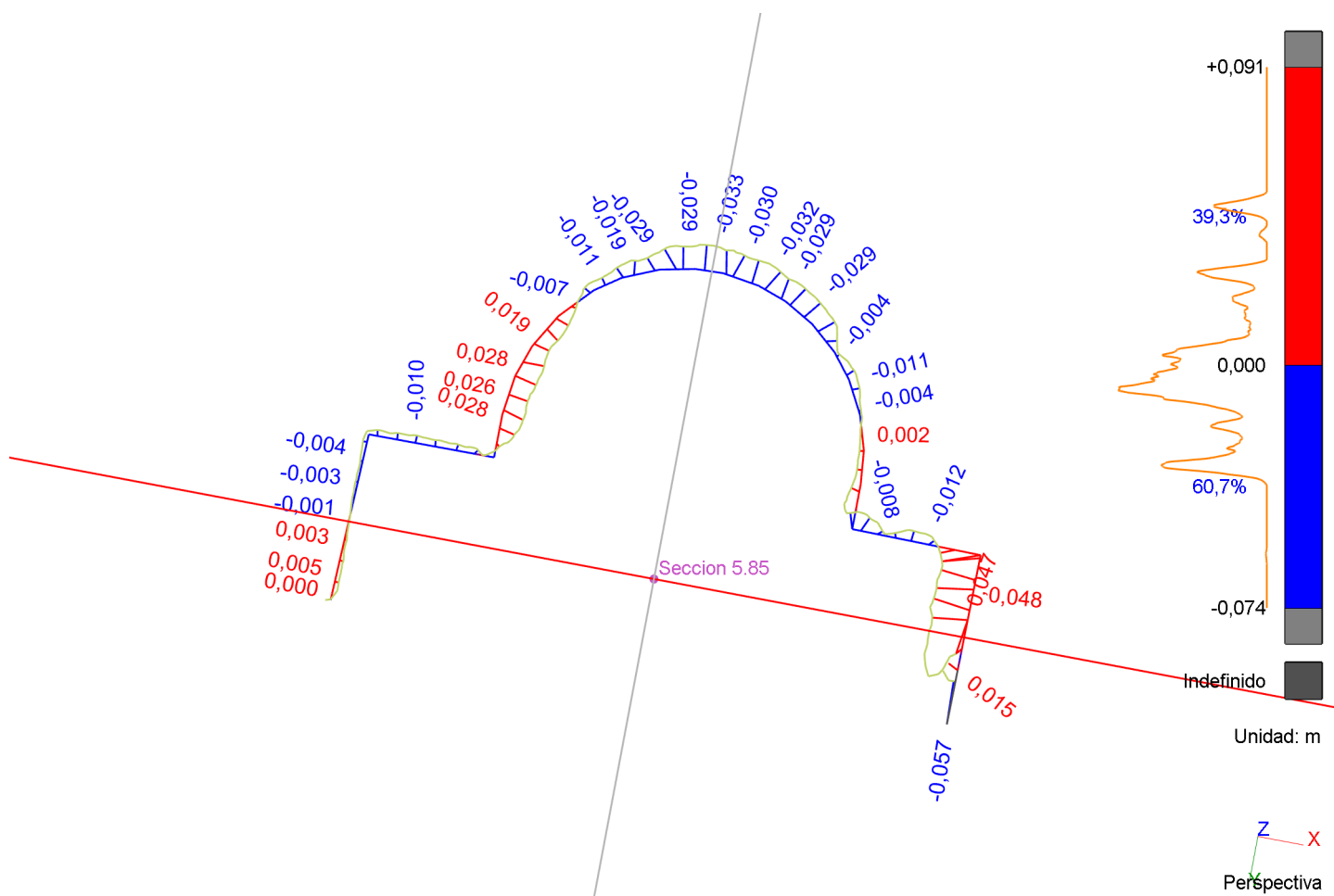


Magnification x1,00000

Seccion 5.85

(X= -0,53779 m ; Y= 4,79674 m ; Z= 4,88201 m)

Seccion 5.85

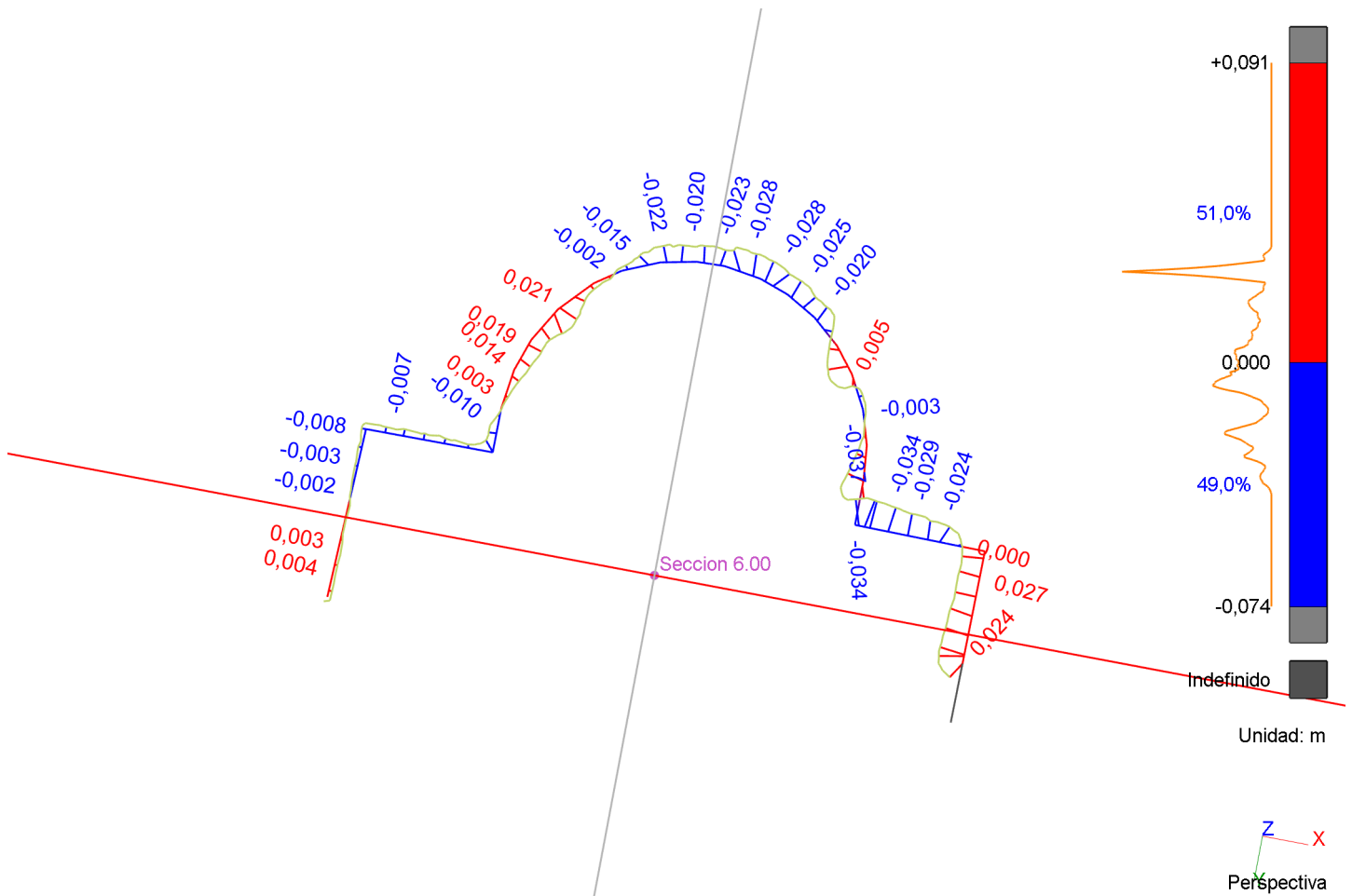


Magnification x1,00000

Seccion 6.00

(X= -0,54034 m ; Y= 4,79720 m ; Z= 5,03199 m)

Seccion 6.00

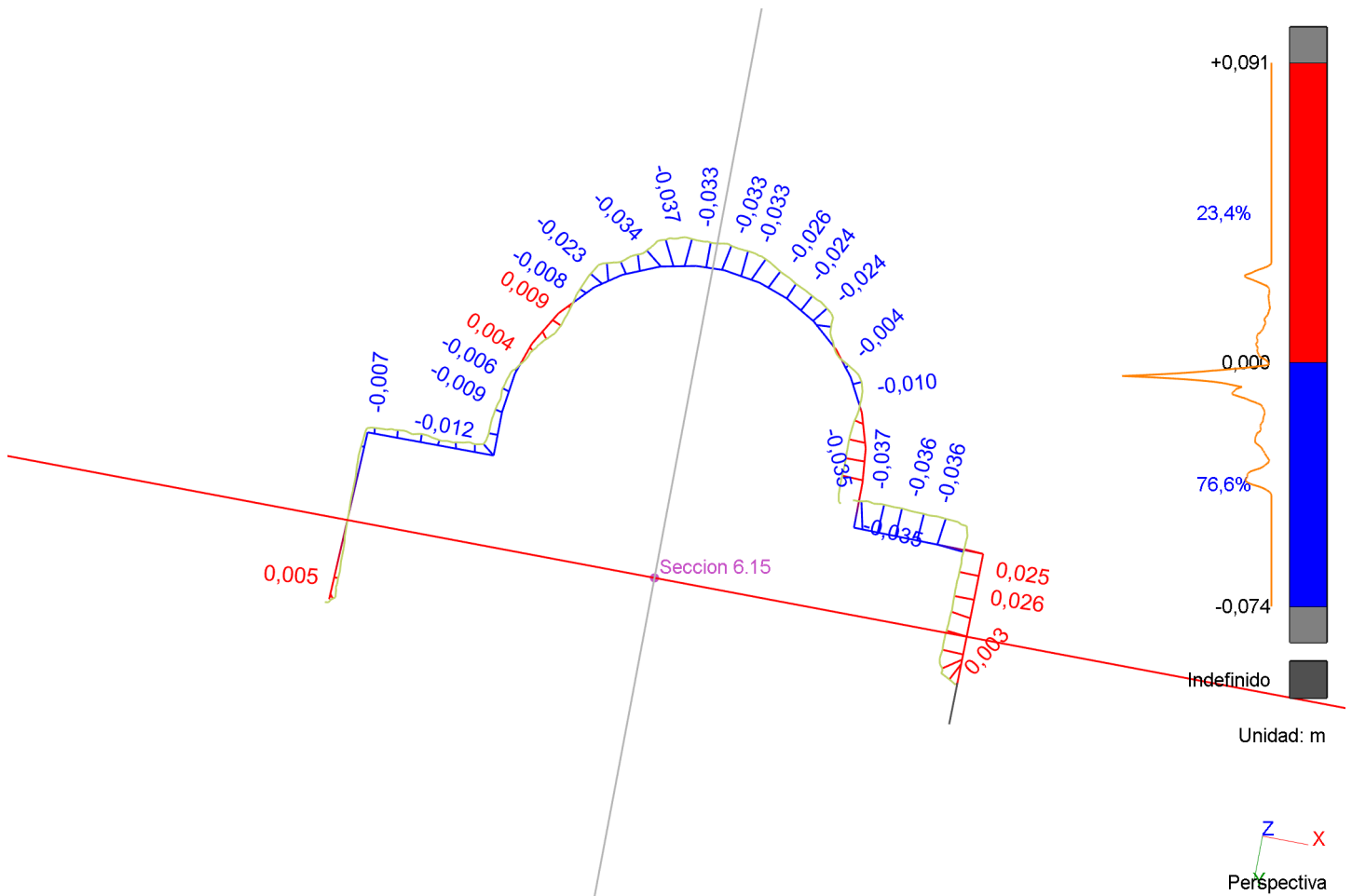


Magnification x1,00000

Seccion 6.15

(X= -0,54289 m ; Y= 4,79767 m ; Z= 5,18197 m)

Seccion 6.15

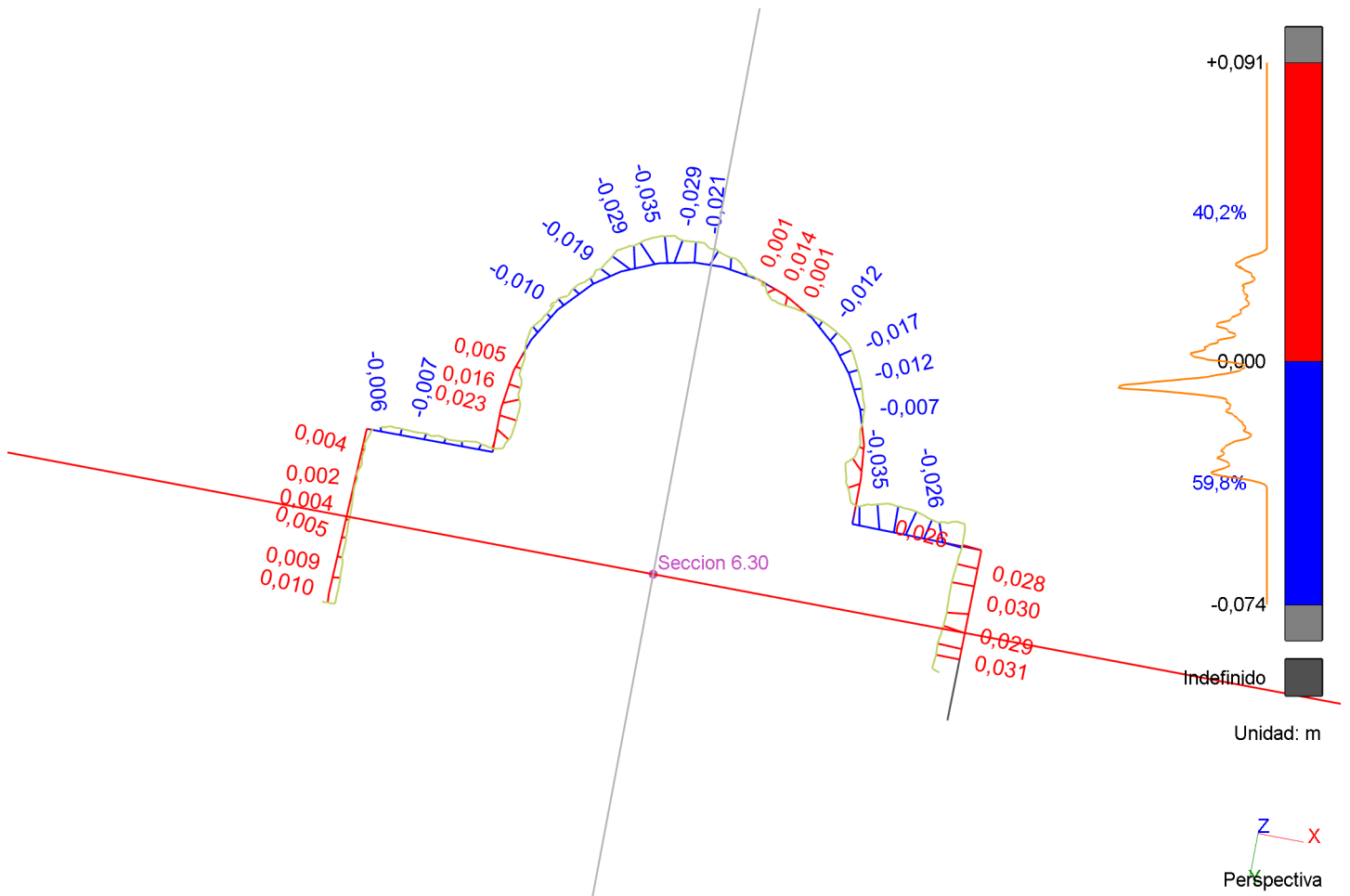


Magnification x1,00000

Seccion 6.30

(X= -0,54544 m ; Y= 4,79813 m ; Z= 5,33195 m)

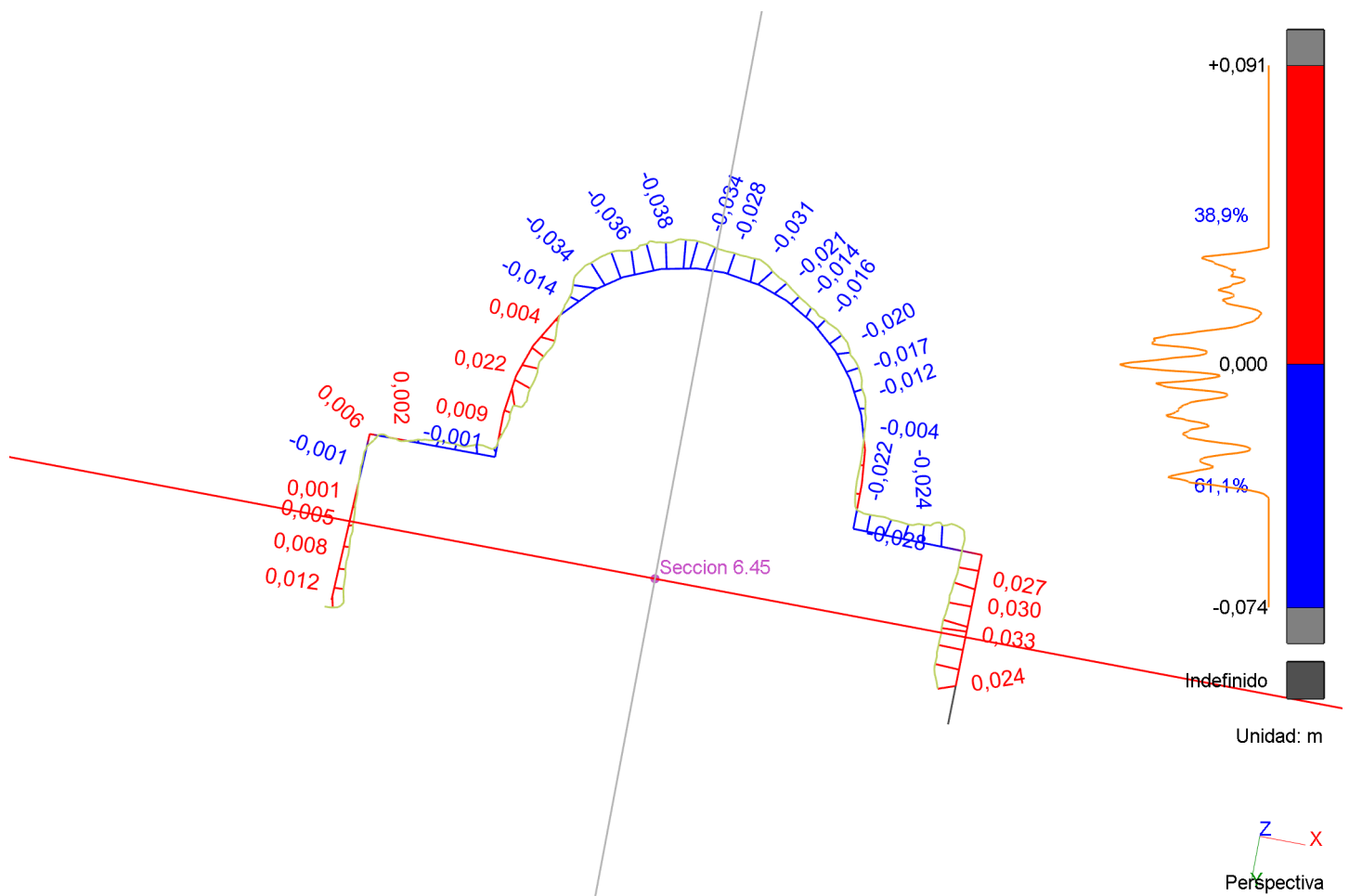
Seccion 6.30



Seccion 6.45

(X= -0,54799 m ; Y= 4,79859 m ; Z= 5,48192 m)

Seccion 6.45

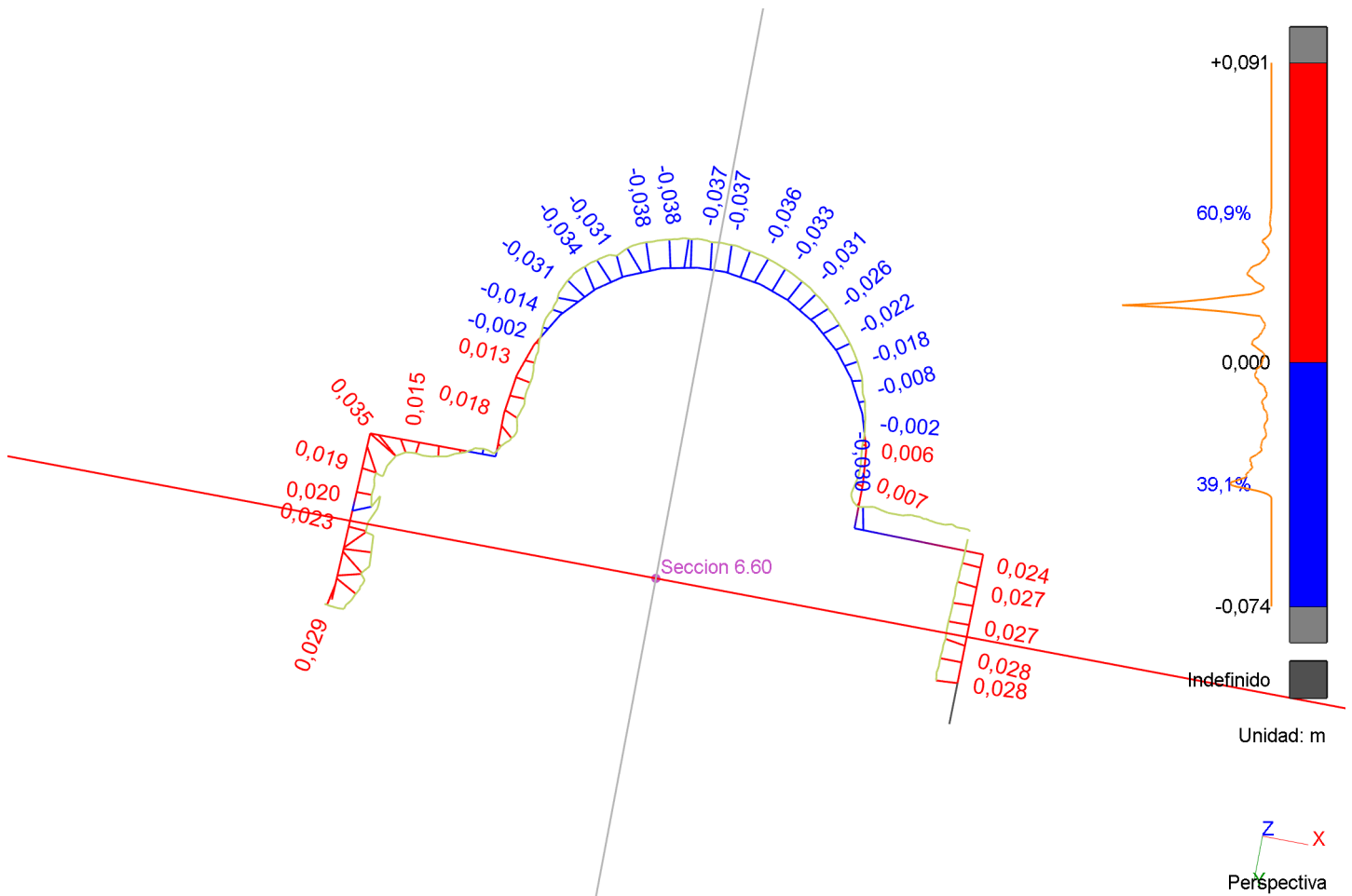


Magnification x1,00000

Seccion 6.60

(X= -0,55054 m ; Y= 4,79906 m ; Z= 5,63190 m)

Seccion 6.60

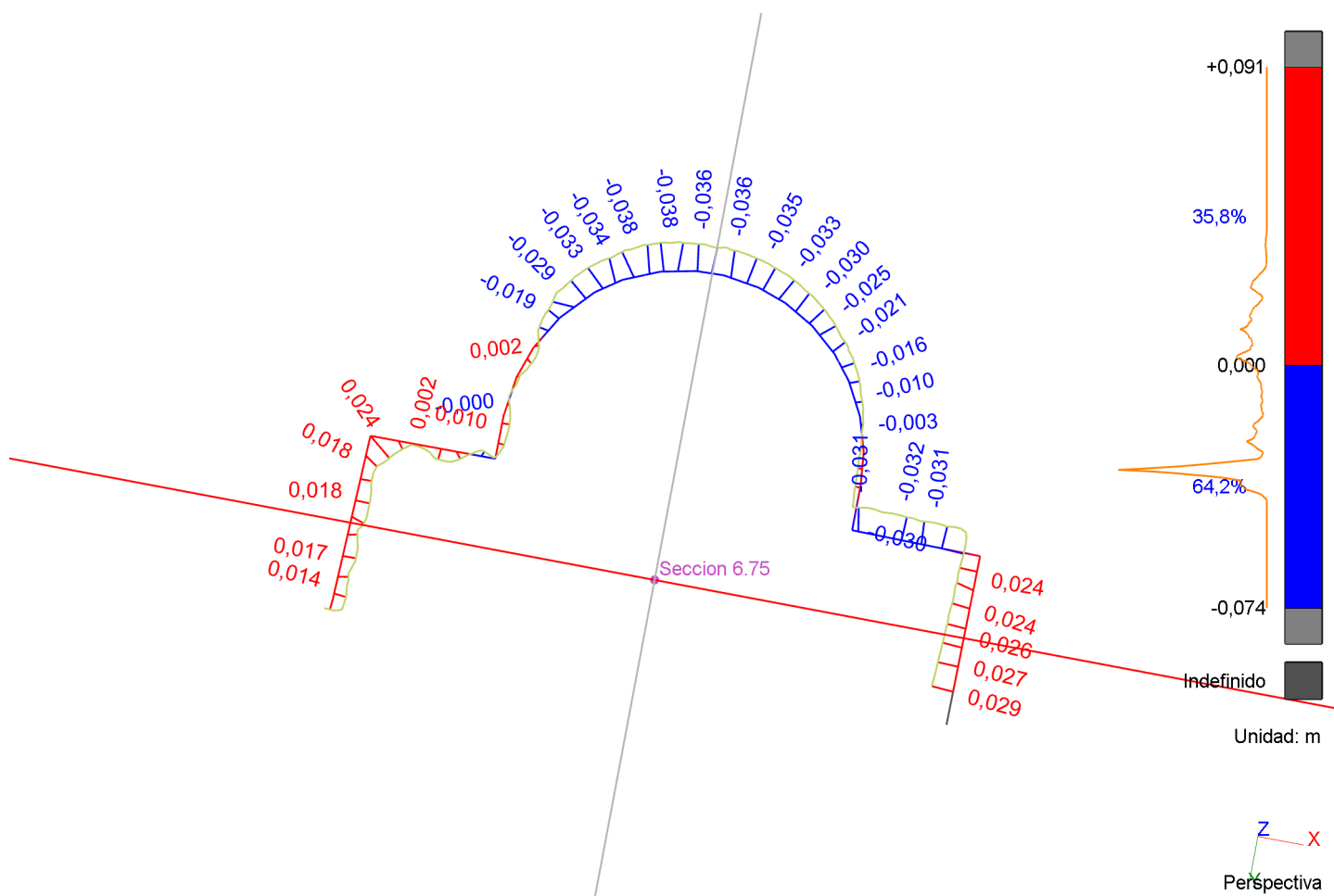


Magnification x1,00000

Seccion 6.75

(X= -0,55309 m ; Y= 4,79952 m ; Z= 5,78188 m)

Seccion 6.75

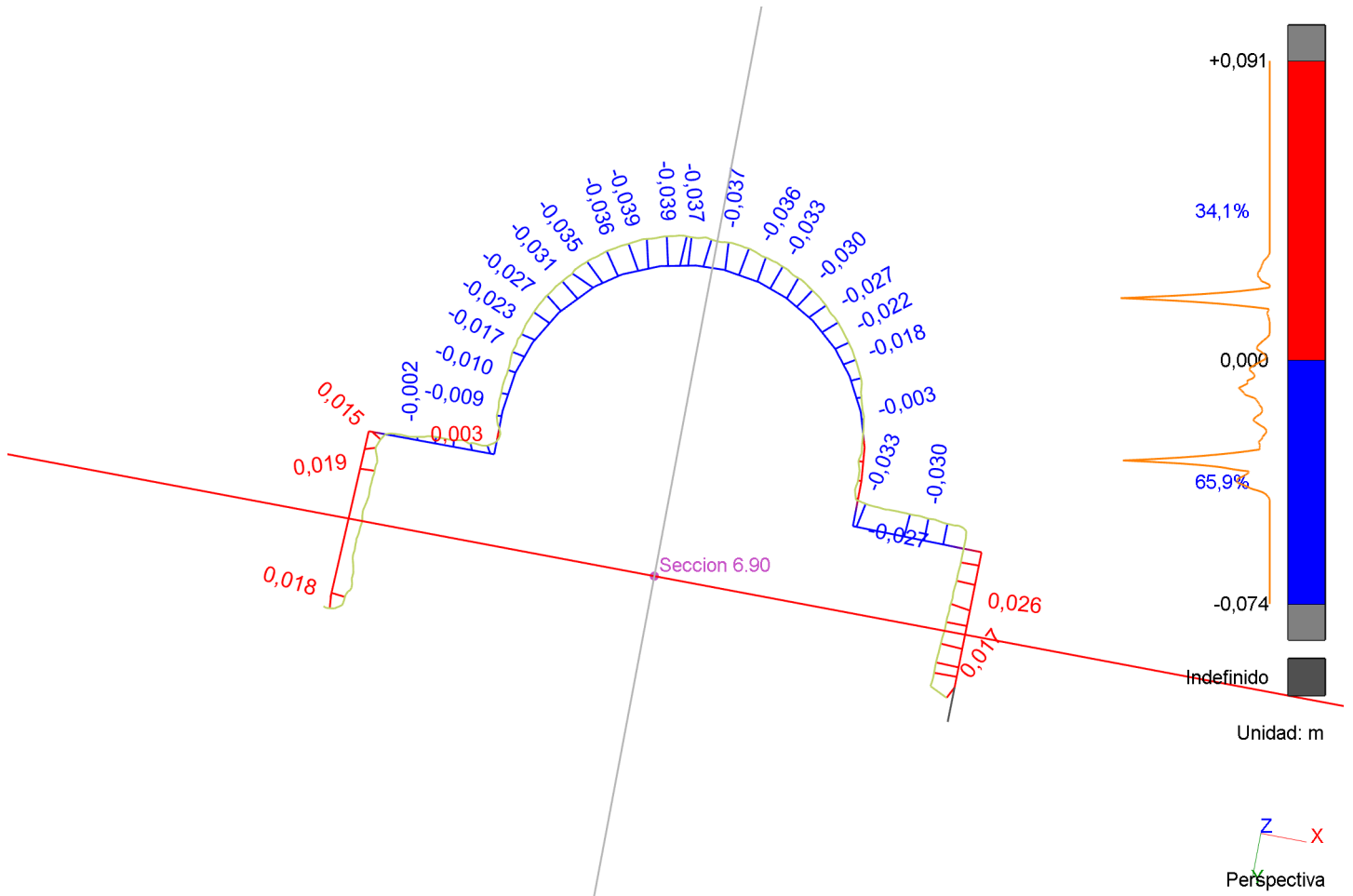


Magnification x1,00000

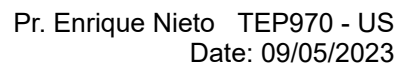
Seccion 6.90

(X= -0,55565 m ; Y= 4,79999 m ; Z= 5,93186 m)

Seccion 6.90



Magnification x1,00000



(X= -0,55820 m ; Y= 4,80045 m ; Z= 6,08184 m)

